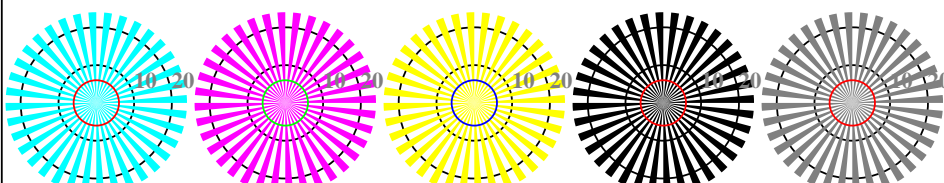
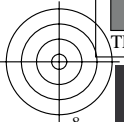


v http://130.149.60.45/~farbmefrik/TF95/TF95L0FA.TXT /PS; sortie de production
L o
F: linearisation 3D TF95/TF95LF30FA.DAT dans fichier (F), page 1/22



voir des fichiers similaires: <http://130.149.60.45/~farbmefrik/TF95/TF95.HTM>
informations techniques: <http://www.ps.bam.de> ou <http://130.149.60.45/~farbmefrik>

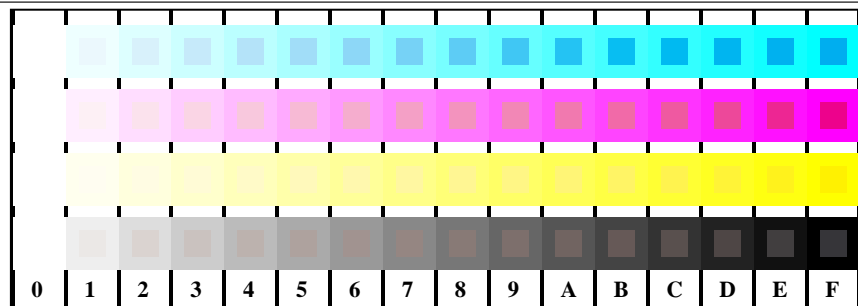


TF950-5, Fig. B2W-: radial callebotis $W-C_-$; $W-M_-$; $W-Y_-$; $W-N$; $W-Z$; PS operator $rgb \rightarrow rgb_setrgbcolor$

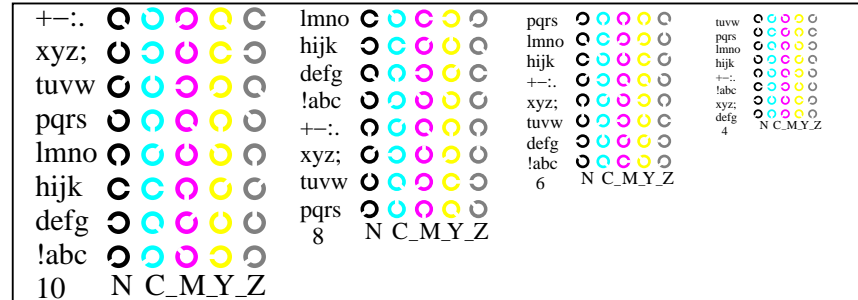


TF950-7, Fig. B3W-: 14 CIE test couleurs et 2 + 16 gris étapes (sf); $rgb/cmky0 set(rgb/cmky)color$

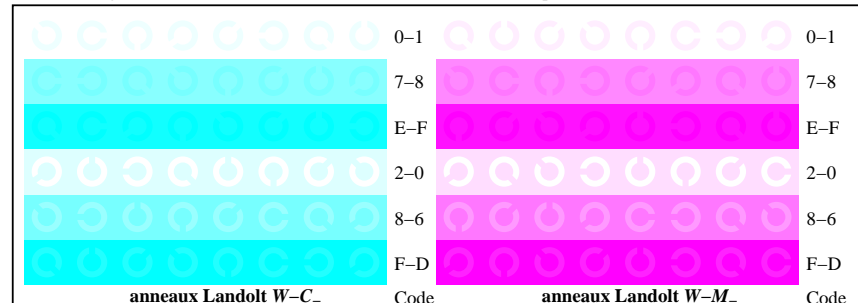
graphique TF95; 2(ISO/IEC 15775 + ISO/IEC TR 24705)
chromatic graphique de test CMY



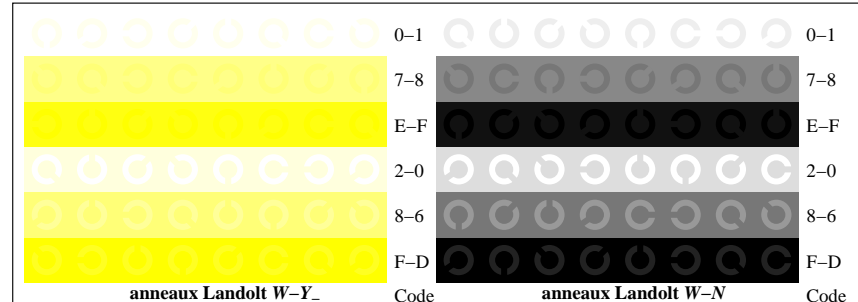
TF951-1, Fig. B4W-: 16 équidistants étapes $W-C_-$; $W-M_-$; $W-Y_-$; $W-N$; $rgb/cmky0 set(rgb/cmky)color$



TF951-3, Fig. B5W-: code et Landolt anneauN; C_- ; M_- ; Y_- ; Z ; PS operator $rgb \rightarrow rgb_setrgbcolor$



TF951-5, Fig. B6W-: anneaux Landolt $W-C_-$; $W-M_-$; PS operator $rgb setrgbcolor$



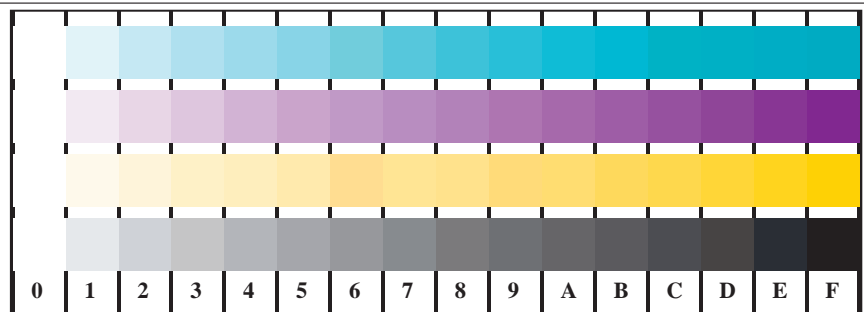
TF951-7, Fig. B7W-: anneaux Landolt $W-Y_-$; $W-N$; PS operator $rgb setrgbcolor$

entrée: $rgb/cmky \rightarrow w/rgb/cmky_$
sortie: aucun changement



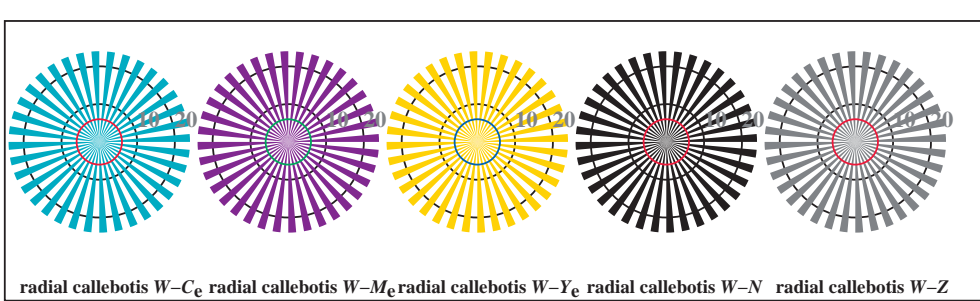


v L o Y M C
 http://130.149.60.45/~farbmefrik/TF95/TF95L0FA.TXT /PS; linearisation 3D
 F: linearisation 3D TF95/TF95LF30FA.DAT dans fichier (F), page 2/22



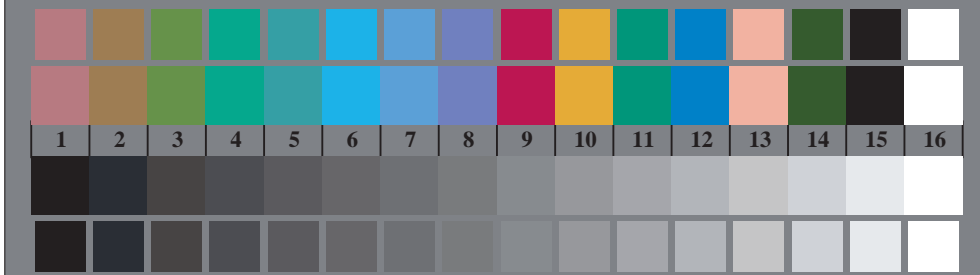
	C _e	M _e	Y _e	N
0	W-C _e	W-M _e	W-Y _e	W-N
1	W-C _e	W-M _e	W-Y _e	W-N
2	W-C _e	W-M _e	W-Y _e	W-N
3	W-C _e	W-M _e	W-Y _e	W-N
4	W-C _e	W-M _e	W-Y _e	W-N
5	W-C _e	W-M _e	W-Y _e	W-N
6	W-C _e	W-M _e	W-Y _e	W-N
7	W-C _e	W-M _e	W-Y _e	W-N
8	W-C _e	W-M _e	W-Y _e	W-N
9	W-C _e	W-M _e	W-Y _e	W-N
A	W-C _e	W-M _e	W-Y _e	W-N
B	W-C _e	W-M _e	W-Y _e	W-N
C	W-C _e	W-M _e	W-Y _e	W-N
D	W-C _e	W-M _e	W-Y _e	W-N
E	W-C _e	W-M _e	W-Y _e	W-N
F	W-C _e	W-M _e	W-Y _e	W-N

	lmino	lmno	pqr	tuvw
xyz;	hijk	hijk	lmno	pqr
tuvw	defg	defg	lmno	lmno
pqrs	!abc	!abc	hijk	tuvw
lmno	+-.	+-.	lmno	defg
hijk	xyz;	xyz;	hijk	!abc
defg	tuvw	tuvw	defg	defg
!abc	defg	!abc	!abc	!abc
10	N C _e M _e Y _e Z	6 N C _e M _e Y _e Z	8 N C _e M _e Y _e Z	4 N C _e M _e Y _e Z



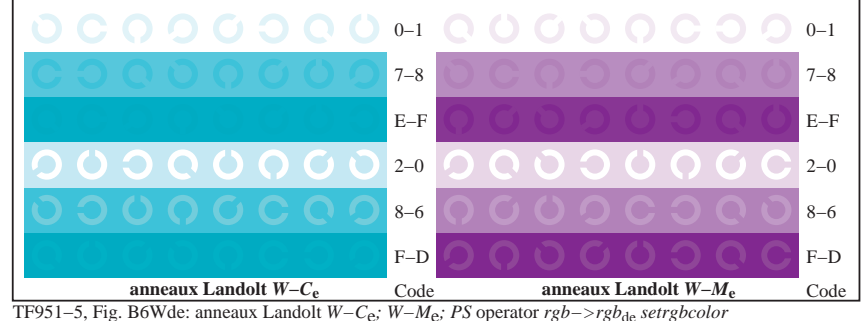
radial callebotis W-C_e radial callebotis W-M_e radial callebotis W-Y_e radial callebotis W-N radial callebotis W-Z

TF950-5, Fig. B2Wde: radial callebotis W-C_e; W-M_e; W-Y_e; W-N; PS operator $rgb \rightarrow rgb_{de}$ setrgbcolor

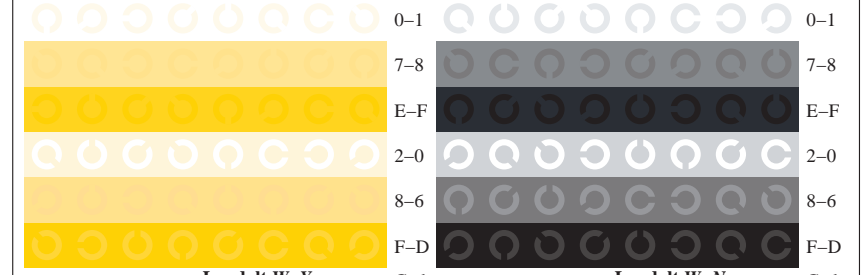


TF950-7, Fig. B3Wde: 14 CIE test couleurs et 2 + 16 gris étapes (sf); $rgb/cmyk \rightarrow rgb_{de}$ setrgbcolor

graphique TF95; 2(ISO/IEC 15775 + ISO/IEC TR 24705)
 chromatic graphique de test CMY, 3D=1, de=1, cmyk*



TF951-5, Fig. B6Wde: anneaux Landolt W-C_e; W-M_e; PS operator $rgb \rightarrow rgb_{de}$ setrgbcolor

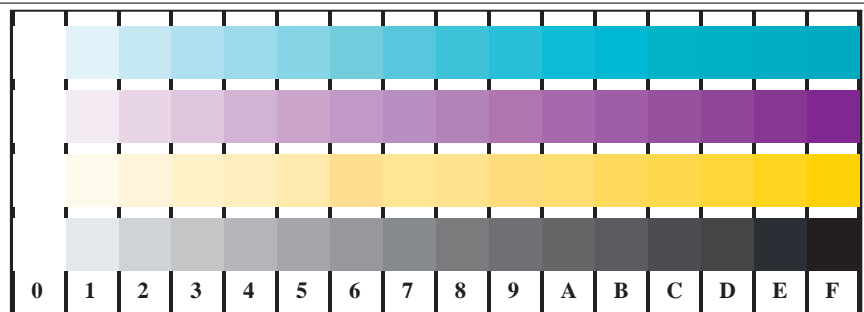


TF951-7, Fig. B7Wde: anneaux Landolt W-Y_e; W-N; PS operator $rgb \rightarrow rgb_{de}$ setrgbcolor

entrée: $rgb/cmyk \rightarrow rgb_{de}$
 sortie: linearisation 3D selon cmyk* de

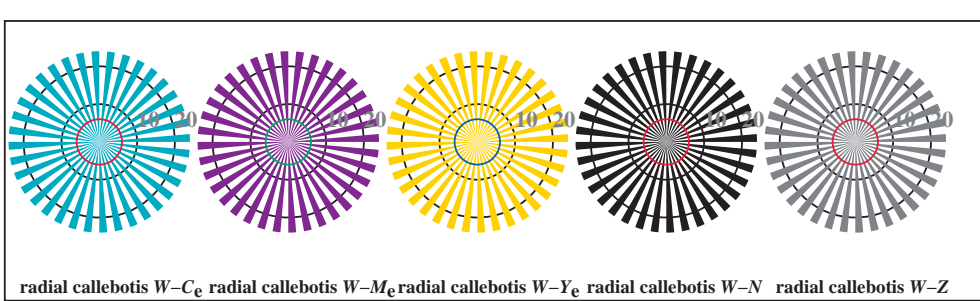


v L o Y M C
 http://130.149.60.45/~farbmefrik/TF95/TF95L0FA.TXT /PS; linearisation 3D
 F: linearisation 3D TF95/TF95LF30FA.DAT dans fichier (F), page 2/22



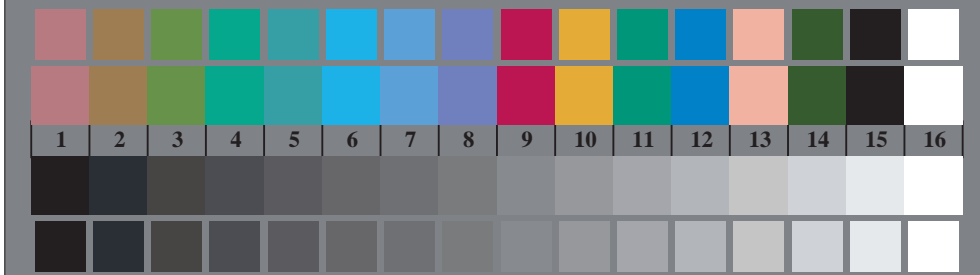
	C _e	M _e	Y _e	N
0	W-C _e	W-M _e	W-Y _e	W-N
1	W-C _e	W-M _e	W-Y _e	W-N
2	W-C _e	W-M _e	W-Y _e	W-N
3	W-C _e	W-M _e	W-Y _e	W-N
4	W-C _e	W-M _e	W-Y _e	W-N
5	W-C _e	W-M _e	W-Y _e	W-N
6	W-C _e	W-M _e	W-Y _e	W-N
7	W-C _e	W-M _e	W-Y _e	W-N
8	W-C _e	W-M _e	W-Y _e	W-N
9	W-C _e	W-M _e	W-Y _e	W-N
A	W-C _e	W-M _e	W-Y _e	W-N
B	W-C _e	W-M _e	W-Y _e	W-N
C	W-C _e	W-M _e	W-Y _e	W-N
D	W-C _e	W-M _e	W-Y _e	W-N
E	W-C _e	W-M _e	W-Y _e	W-N
F	W-C _e	W-M _e	W-Y _e	W-N

	lmino	lmno	pqr	tuvw
xyz;	hijk	hijk	lmno	pqr
tuvw	defg	defg	lmno	lmno
pqrs	!abc	!abc	hijk	tuvw
lmno	+-.	+-.	lmno	defg
hijk	xyz;	xyz;	hijk	!abc
defg	tuvw	tuvw	defg	defg
!abc	defg	!abc	!abc	!abc
10	N C _e M _e Y _e Z	6 N C _e M _e Y _e Z	8 N C _e M _e Y _e Z	4 N C _e M _e Y _e Z



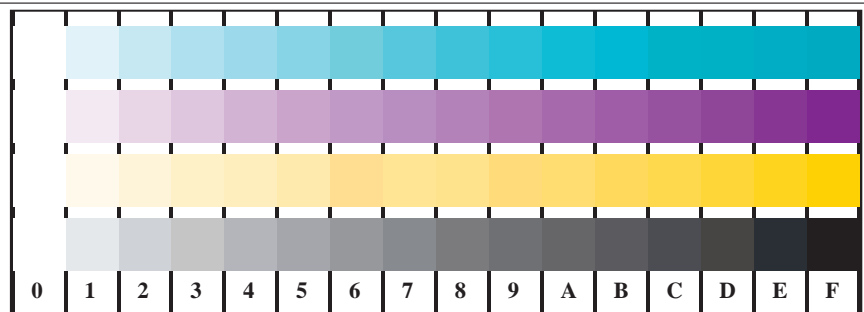
radial callebotis W-C_e radial callebotis W-M_e radial callebotis W-Y_e radial callebotis W-N radial callebotis W-Z

TF950-5, Fig. B2Wde: radial callebotis W-C_e; W-M_e; W-Y_e; W-N; PS operator $rgb \rightarrow rgb_{de}$ setrgbcolor



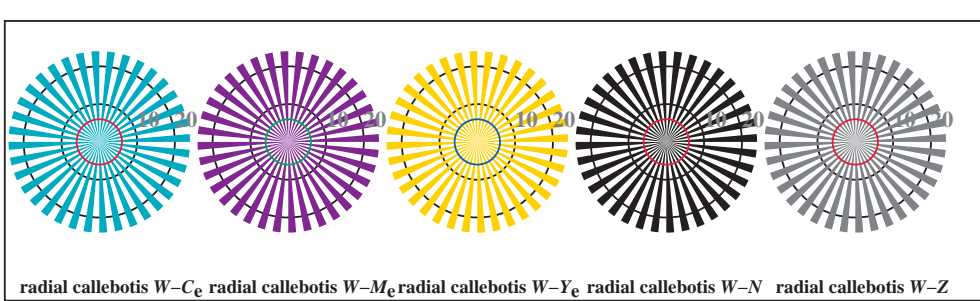
TF950-7, Fig. B3Wde: 14 CIE test couleurs et 2 + 16 gris étapes (sf); $rgb/cmyk \rightarrow rgb_{de}$ setrgbcolor

graphique TF95; 2(ISO/IEC 15775 + ISO/IEC TR 24705)
 chromatic graphique de test CMY, 3D=1, de=1, cmyk*



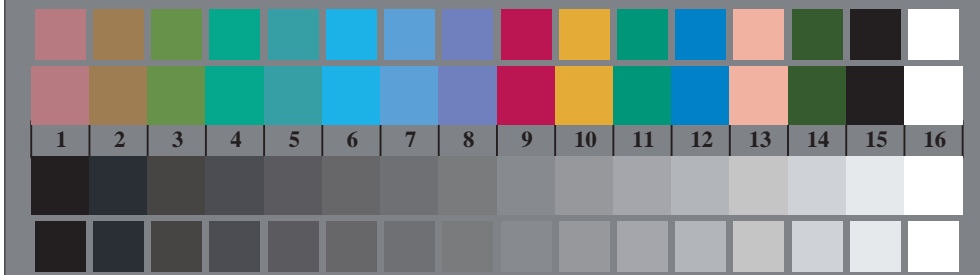
	C _e	M _e	Y _e	N
0	W-C _e	W-M _e	W-Y _e	W-N
1	W-C _e	W-M _e	W-Y _e	W-N
2	W-C _e	W-M _e	W-Y _e	W-N
3	W-C _e	W-M _e	W-Y _e	W-N
4	W-C _e	W-M _e	W-Y _e	W-N
5	W-C _e	W-M _e	W-Y _e	W-N
6	W-C _e	W-M _e	W-Y _e	W-N
7	W-C _e	W-M _e	W-Y _e	W-N
8	W-C _e	W-M _e	W-Y _e	W-N
9	W-C _e	W-M _e	W-Y _e	W-N
A	W-C _e	W-M _e	W-Y _e	W-N
B	W-C _e	W-M _e	W-Y _e	W-N
C	W-C _e	W-M _e	W-Y _e	W-N
D	W-C _e	W-M _e	W-Y _e	W-N
E	W-C _e	W-M _e	W-Y _e	W-N
F	W-C _e	W-M _e	W-Y _e	W-N

	lmino	lmno	pqr	tuvw
xyz;	hijk	hijk	lmno	pqr
tuvw	defg	defg	lmno	lmno
pqrs	!abc	!abc	hijk	tuvw
lmno	+-.	+-.	lmno	defg
hijk	xyz;	xyz;	hijk	!abc
defg	tuvw	tuvw	defg	defg
!abc	defg	!abc	!abc	!abc
10	N C _e M _e Y _e Z	6 N C _e M _e Y _e Z	8 N C _e M _e Y _e Z	4 N C _e M _e Y _e Z



radial callebotis W-C_e radial callebotis W-M_e radial callebotis W-Y_e radial callebotis W-N radial callebotis W-Z

TF950-5, Fig. B2Wde: radial callebotis W-C_e; W-M_e; W-Y_e; W-N; PS operator $rgb \rightarrow rgb_{de}$ setrgbcolor



TF950-7, Fig. B3Wde: 14 CIE test couleurs et 2 + 16 gris étapes (sf); $rgb/cmyk \rightarrow rgb_{de}$ setrgbcolor

graphique TF95; 2(ISO/IEC 15775 + ISO/IEC TR 24705)
 chromatic graphique de test CMY, 3D=1, de=1, cmyk*

6

-8

TUB matériel: code=rha4ta
application pour la mesure des sorties sur offset, séparationcmyn6* (CMYK)

C

V

O

Y

M

C

L

N

Z

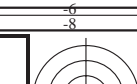
W

E

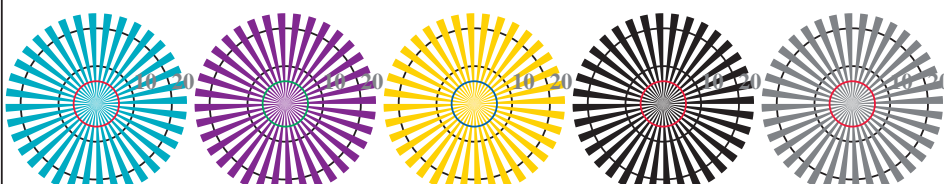
F



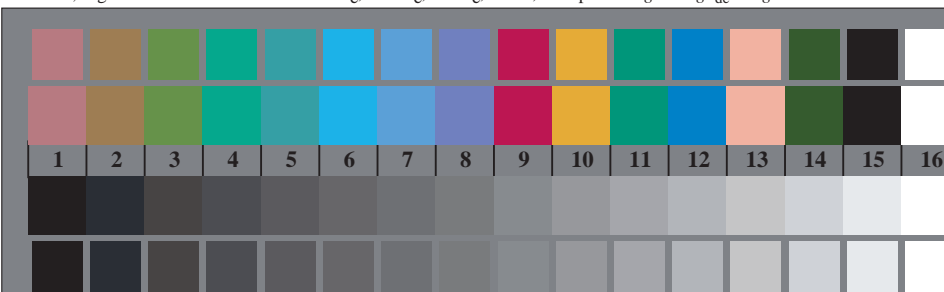
v L o Y M C
http://130.149.60.45/~farbmefrik/TF95/TF95L0FA.TXT /PS; linearisation 3D
F: linearisation 3D TF95/TF95LF30FA.DAT dans fichier (F), page 3/22



voir des fichiers similaires: http://130.149.60.45/~farbmefrik/TF95/TF95.L0FA.TXT /PS
informations techniques: http://www.ps.bam.de ou http://130.149.60.45/~farbmefrik

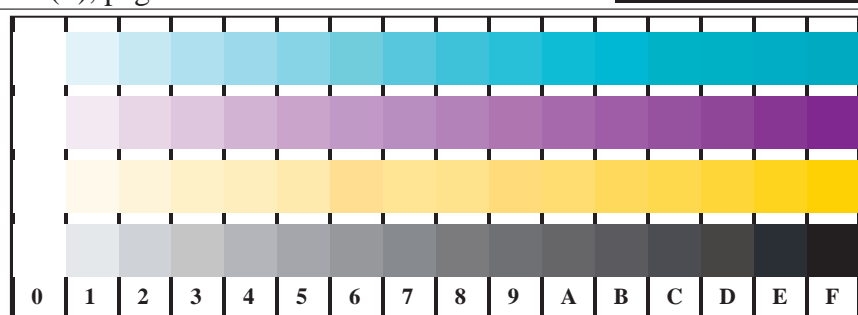


radial callebotis W-C_e radial callebotis W-M_e radial callebotis W-Y_e radial callebotis W-N radial callebotis W-Z
TF950-5, Fig. B2Wde: radial callebotis W-C_e; W-M_e; W-Y_e; W-N; PS operator $rgb \rightarrow rgb_{de}$ setrgbcolor

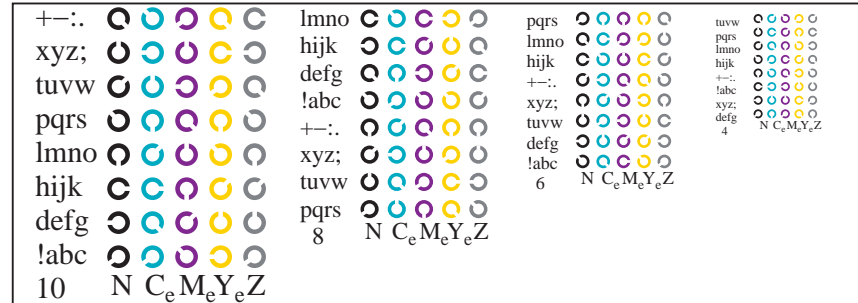


TF950-7, Fig. B3Wde: 14 CIE test couleurs et 2 + 16 gris étapes (sf); $rgb/cmy0 \rightarrow rgb_{de}$ setrgbcolor

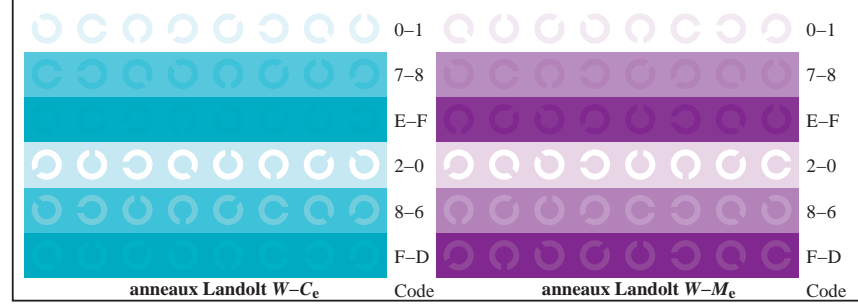
graphique TF95; 2(ISO/IEC 15775 + ISO/IEC TR 24705)
chromatic graphique de test CMY, 3D=1, de=1, cmyk*



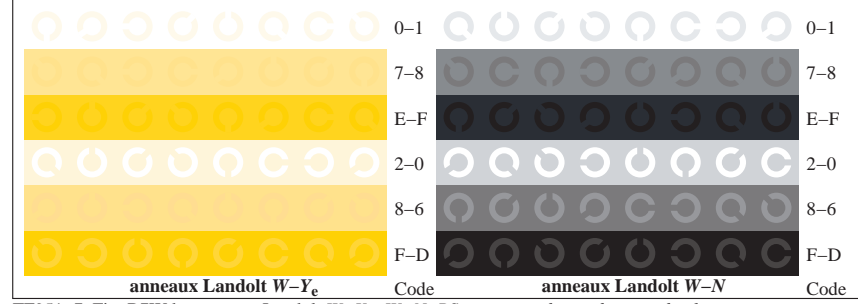
TF951-1, Fig. B4Wde: 16 équidistants étapes W-C_e; W-M_e; W-Y_e; W-N; $rgb/cmy0 \rightarrow rgb_{de}$ setrgbcolor



TF951-3, Fig. B5Wde: code et Landolt anneau N; C_e; M_e; Y_e; Z; PS operator $rgb \rightarrow rgb_{de}$ setrgbcolor



TF951-5, Fig. B6Wde: anneaux Landolt W-C_e; W-M_e; PS operator $rgb \rightarrow rgb_{de}$ setrgbcolor



TF951-7, Fig. B7Wde: anneaux Landolt W-Y_e; W-N; PS operator $rgb \rightarrow rgb_{de}$ setrgbcolor

3-113230-F0

-8

C

M

Y

O

L

V

-8

6

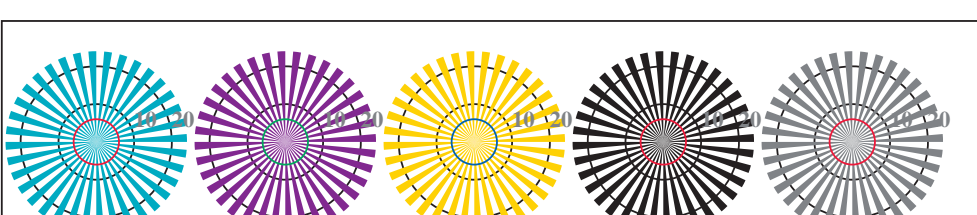


<http://130.149.60.45/~farbmefrik/TF95/TF95L0FA.TXT> /PS; linearisation 3D
F: linearisation 3D TF95/TF95LF30FA.DAT dans fichier (F), page 4/22

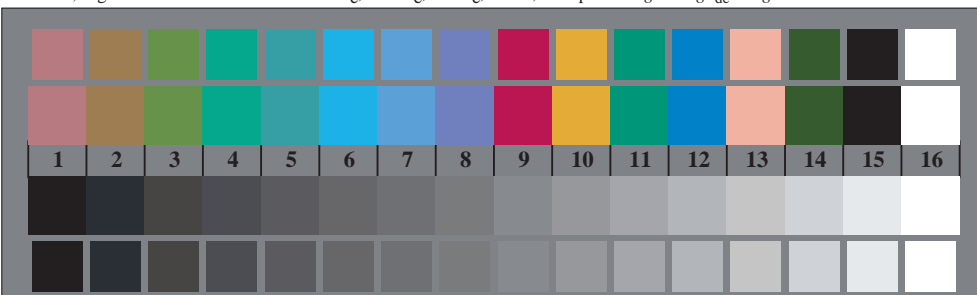


TUB enregistrement: 20150701-TF95/TF95L0FA.TXT /PS TUB matériel: code=rha4ta
application pour la mesure des sorties sur offset, séparationcmyn6* (CMYK)

voir des fichiers similaires: <http://130.149.60.45/~farbmetrik/TF95/TF95.html>
informations techniques: <http://www.ps.bam.de> ou <http://130.149.60.45/~farbmetrik/TF95/TF95.html>

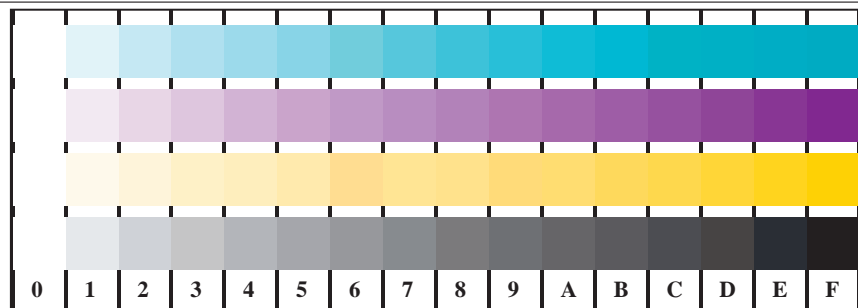


radial callebotis $W-C_e$ radial callebotis $W-M_e$ radial callebotis $W-Y_e$ radial callebotis $W-N$ radial callebotis $W-Z$
 TF950-5, Fig. B2Wde; radial callebotis $W-C_e$; $W-M_e$; $W-Y_e$; $W-N$; PS operator $rgb \rightarrow rgb_{de} \operatorname{setrgbcolor}$

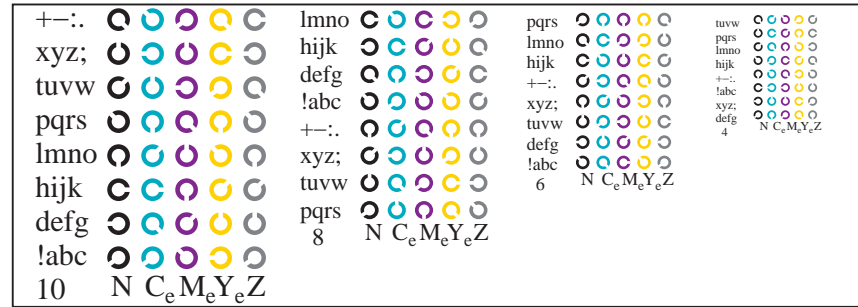


TF950-7, Fig. B3Wde: 14 CIE test couleurs et 2 + 16 gris étapes (sf); $rgb/cm\ y0->rgb_{de}$. setrgbcolor

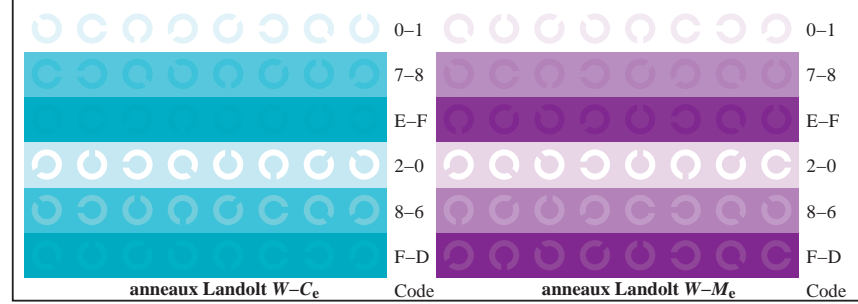
graphique TF95; 2(ISO/IEC 15775 + ISO/IEC TR 24705)
chromatic graphique de test CMY, 3D=1, de=1, cmyk*



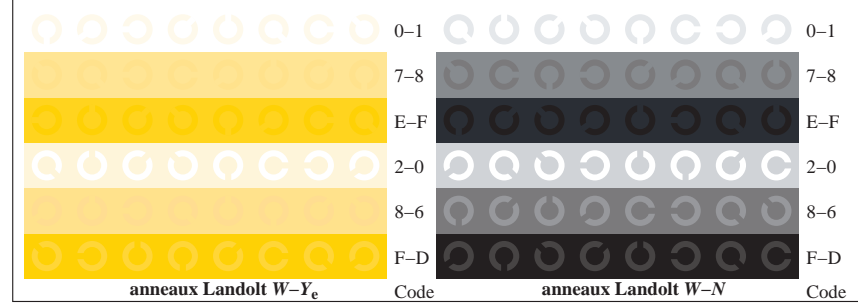
TF951-1, Fig. B4Wde: 16 équidistants étapes $W-C_e$; $W-M_e$; $W-Y_e$; $W-N$; $rgb/cmy0 \rightarrow rgb_{de}$ setrgbcolor



TF951-3, Fig. B5Wde: code et Landolt anneau N ; C_e ; M_e ; Y_e ; Z ; PS operator $rgb \rightarrow rgb_{de}$ setrgbcolor



TF951-5, Fig. B6Wde: anneaux Landolt W-C_e; W-M_e; PS operator *rgb->rgb_{de}* setrgbcolor

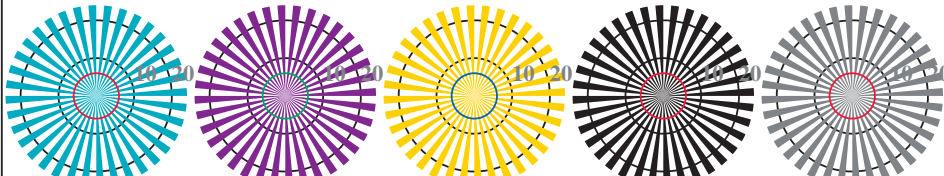


TF951-7, Fig. B7Wde: anneaux Landolt $W-Y_e$; $W-N$; PS operator $rgb \rightarrow rgb_{de}$ setrgbcolor

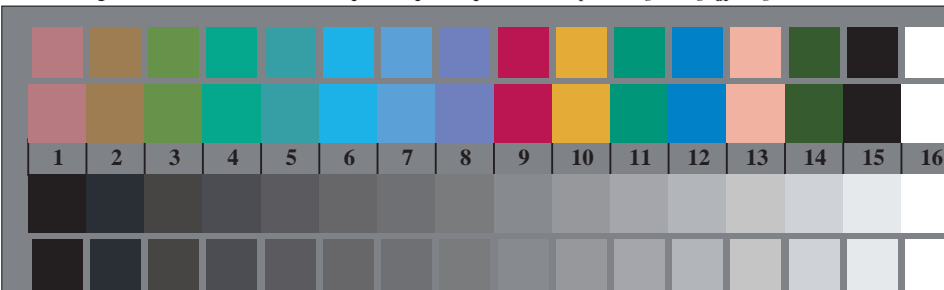


entrée: $rgb/cmyk \rightarrow rgb_{de}$
sortie: linearisation 3D selon $cmyk^*_{de}$

voir des fichiers similaires: <http://130.149.60.45/~farbmefrik/TF95/TF95.HTM>
 informations techniques: <http://www.ps.bam.de> ou <http://130.149.60.45/~farbmefrik/TF95/TF95LF30FA.DAT>

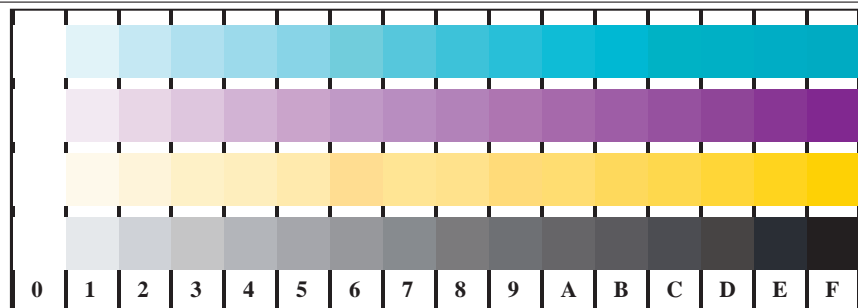


radial callebotis $W-C_e$ radial callebotis $W-M_e$ radial callebotis $W-Y_e$ radial callebotis $W-N$ radial callebotis $W-Z$
 TF950-5, Fig. B2Wde: radial callebotis $W-C_e$; $W-M_e$; $W-Y_e$; $W-N$; PS operator $rgb \rightarrow rgb_{de}$ setrgbcolor

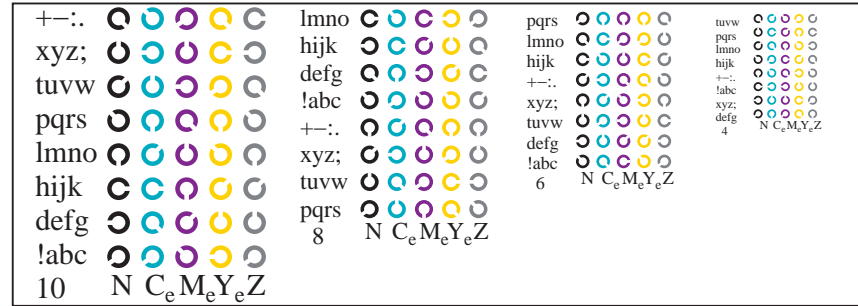


TF950-7, Fig. B3Wde: 14 CIE test couleurs et 2 + 16 gris étapes (sf); $rgb/cmy0 \rightarrow rgb_{de}$ setrgbcolor

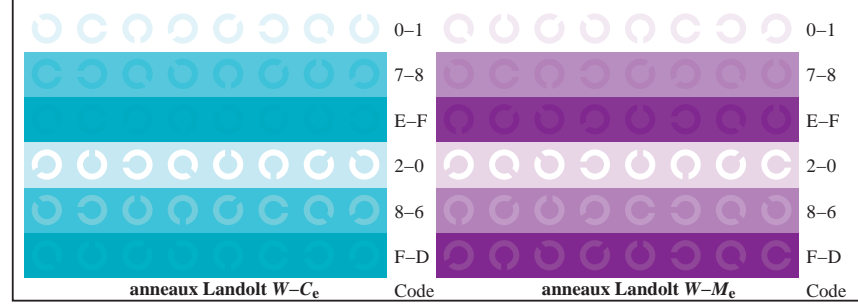
graphique TF95; 2(ISO/IEC 15775 + ISO/IEC TR 24705)
 chromatic graphique de test CMY, 3D=1, de=1, cmyk*



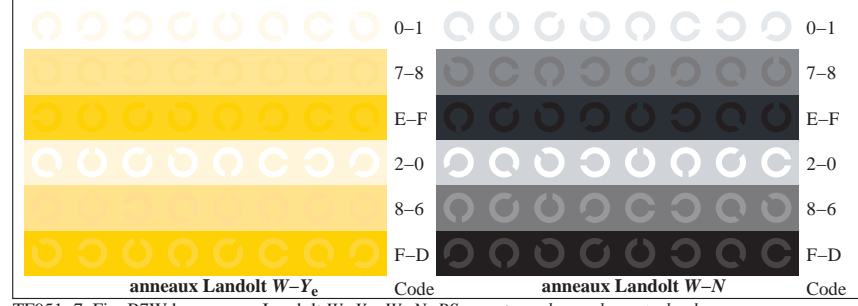
TF951-1, Fig. B4Wde: 16 équidistants étapes $W-C_e$; $W-M_e$; $W-Y_e$; $W-N$; $rgb/cmy0 \rightarrow rgb_{de}$ setrgbcolor



TF951-3, Fig. B5Wde: code et Landolt anneauN; C_e ; M_e ; Y_e ; Z ; PS operator $rgb \rightarrow rgb_{de}$ setrgbcolor



TF951-5, Fig. B6Wde: anneaux Landolt $W-C_e$; $W-M_e$; PS operator $rgb \rightarrow rgb_{de}$ setrgbcolor



TF951-7, Fig. B7Wde: anneaux Landolt $W-Y_e$; $W-N$; PS operator $rgb \rightarrow rgb_{de}$ setrgbcolor

entrée: $rgb/cmyk \rightarrow rgb_{de}$
 sortie: linearisation 3D selon $cmyk^*$ de

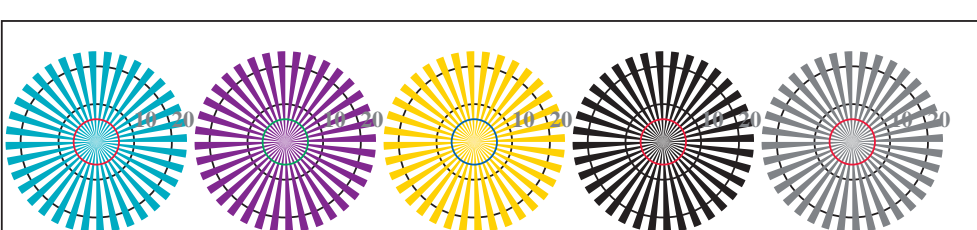


<http://130.149.60.45/~farbmefrik/TF95/TF95L0FA.TXT> /PS; linearisation 3D
F: linearisation 3D TF95/TF95LF30FA.DAT dans fichier (F), page 6/22

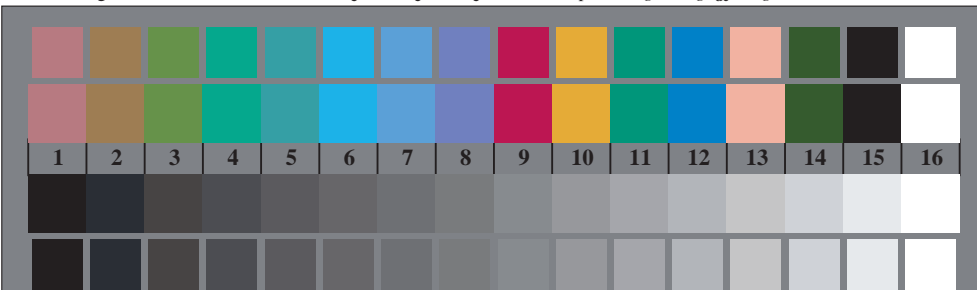


TUB enregistrement: 20150701-TF95/TF95L0FA.TXT /PS TUB matériel: code=rha4ta application pour la mesure des sorties sur offset, séparation myn6* (CMYK)

voir des fichiers similaires: <http://130.149.60.45/~farbmetrik/TF95/TF95.html>
informations techniques: <http://www.ps.bam.de> ou <http://130.149.60.45/~farbmetrik/TF95/TF95.html>

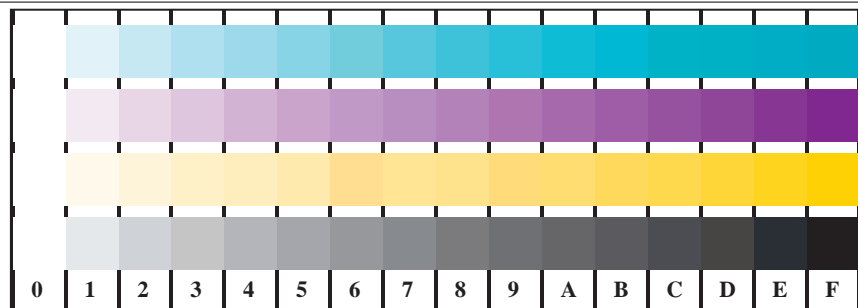


Radial callebotis $W-Ce$ *Radial callebotis* $W-Me$ *Radial callebotis* $W-Ye$ *Radial callebotis* $W-N$ *Radial callebotis* $W-$

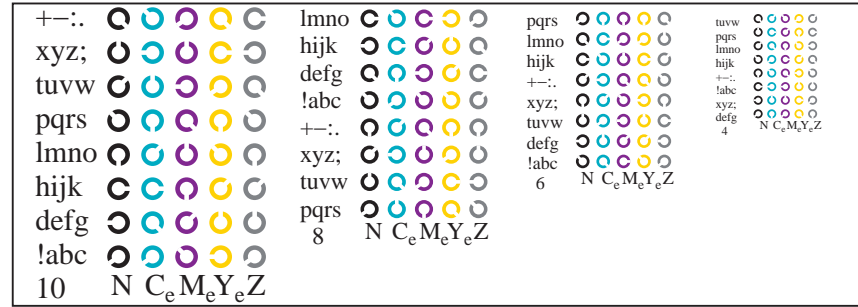


TF950-7. Fig. B3Wde: 14 CIE test couleurs et 2 + 16 gris étapes (sf); $rgb/cmy0 \rightarrow rghd$; *setrgbcolor*

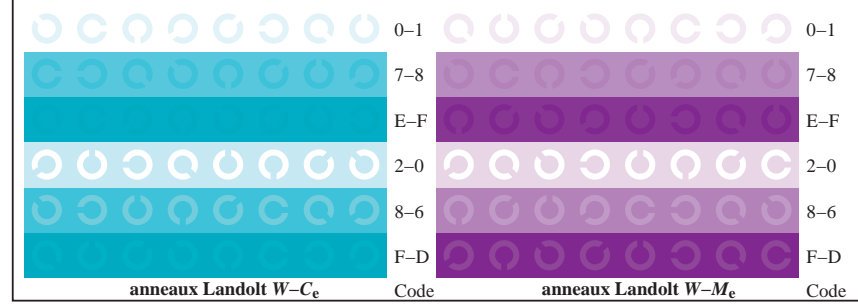
graphique TF95; 2(ISO/IEC 15775 + ISO/IEC TR 24705)
chromatic graphique de test CMY, 3D=1, de=1, cmyk*



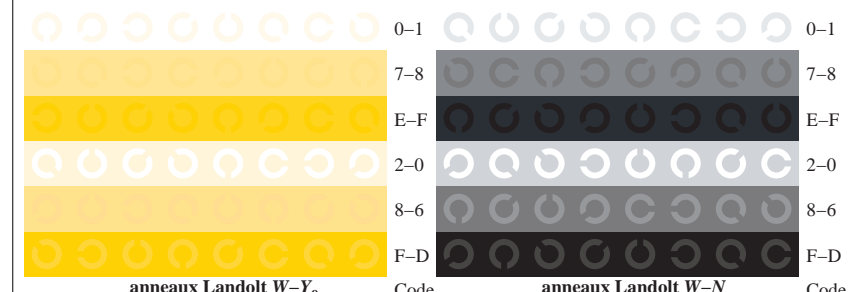
TF951-1, Fig. B4Wde: 16 équidistantes étapes $W-C_e$; $W-M_e$; $W-Y_e$; $W-N$; $rgb/cmy0 \rightarrow rgb$ de $setrgbcolor$



TF951-3, Fig. B5Wde: code et Landolt anneau N ; C_e ; M_e ; Y_e ; Z ; PS operator $rgb \rightarrow rgb_{de}$ setrgbcolor



TF951-5, Fig. B6Wde: anneaux Landolt W-C_e; W-M_e; PS operator $rgb \rightarrow rgb_{de}$ setrgbcolor



TE951-7, Fig. B7Wde: anneaux Landolt $W-Y_e$; $W-N$; PS operator $rgh \rightarrow rgh_{de}$, setrgbcolor

entrée: $rgb/cmyk \rightarrow rgb_{de}$
 sortie: linearisation 3D selon $cmyk^*_{de}$



TUB enregistrement: 20150701-TF95/TF95L0FA.TXT /PS
application pour la mesure des sorties sur offset, séparationcmyn6* (CMYK)

TUB matériel: code=rha4ta

<http://130.149.60.45/~farbmetrik/TF95/TF95L0FA.TXT>; linearisation 3D
F: linearisation 3D TF95/TF95LF30FA.DAT dans fichier (F), page 7/22

graphique TF95; 2(ISO/IEC 15775 + ISO/IEC TR 24705)
couleurs et différences, ΔE^* , 3D=1, de=1, cmyk*

entrée: $rgb/cm\gamma k \rightarrow rgbd$
sortie: linearisation 3D selon $cmyk^*$

3-113630-F0

3-113630-F1

3-113630-F2

3-113630-F3

3-113630-F4

3-113630-F5

3-113630-F6

3-113630-F7

3-113630-F8

3-113630-F9

3-113630-FA

3-113630-FB

3-113630-FC

3-113630-FD

3-113630-FE

3-113630-FF

3-113630-F0

3-113630-F1

3-113630-F2

3-113630-F3

3-113630-F4

3-113630-F5

3-113630-F6

3-113630-F7

3-113630-F8

3-113630-F9

3-113630-FA

3-113630-FB

3-113630-FC

3-113630-FD

3-113630-FE

3-113630-F0

3-113630-F1

3-113630-F2

3-113630-F3

3-113630-F4

3-113630-F5

3-113630-F6

3-113630-F7

3-113630-F8

3-113630-F9

3-113630-FA

3-113630-FB

3-113630-FC

3-113630-FD

3-113630-FE

3-113630-F0

3-113630-F1

3-113630-F2

3-113630-F3

3-113630-F4

3-113630-F5

3-113630-F6

3-113630-F7

3-113630-F8

3-113630-F9

3-113630-FA

3-113630-FB

3-113630-FC

3-113630-FD

3-113630-FE

3-113630-F0

3-113630-F1

3-113630-F2

3-113630-F3

3-113630-F4

3-113630-F5

3-113630-F6

3-113630-F7

3-113630-F8

3-113630-F9

3-113630-FA

3-113630-FB

3-113630-FC

3-113630-FD

3-113630-FE

3-113630-F0

3-113630-F1

3-113630-F2

3-113630-F3

3-113630-F4

3-113630-F5

3-113630-F6

3-113630-F7

3-113630-F8

3-113630-F9

3-113630-FA

3-113630-FB

3-113630-FC

3-113630-FD

3-113630-FE

3-113630-F0

3-113630-F1

3-113630-F2

3-113630-F3

3-113630-F4

3-113630-F5

3-113630-F6

3-113630-F7

3-113630-F8

3-113630-F9

3-113630-FA

3-113630-FB

3-113630-FC

3-113630-FD

3-113630-FE

3-113630-F0

3-113630-F1

3-113630-F2

3-113630-F3

3-113630-F4

3-113630-F5

3-113630-F6

3-113630-F7

3-113630-F8

3-113630-F9

3-113630-FA

3-113630-FB

3-113630-FC

3-113630-FD

3-113630-FE

3-113630-F0

3-113630-F1

3-113630-F2

3-113630-F3

3-113630-F4

3-113630-F5

3-113630-F6

3-113630-F7

3-113630-F8

3-113630-F9

3-113630-FA

3-113630-FB

3-113630-FC

3-113630-FD

3-113630-FE

3-113630-F0

3-113630-F1

3-113630-F2

3-113630-F3

3-113630-F4

3-113630-F5

3-113630-F6

3-113630-F7

3-113630-F8

3-113630-F9

3-113630-FA

3-113630-FB

3-113630-FC

3-113630-FD

3-113630-FE

3-113630-F0

3-113630-F1

3-113630-F2

3-113630-F3

3-113630-F4

3-113630-F5

3-113630-F6

3-113630-F7

3-113630-F8

3-113630-F9

3-113630-FA

3-113630-FB

3-113630-FC

3-113630-FD

3-113630-FE

3-113630-F0

3-113630-F1

3-113630-F2

3-113630-F3

3-113630-F4

3-113630-F5

3-113630-F6

3-113630-F7

3-113630-F8

3-113630-F9

3-113630-FA

3-113630-FB

3-113630-FC

3-113630-FD

3-113630-FE

3-113630-F0

3-113630-F1

3-113630-F2

3-113630-F3

3-113630-F4

3-113630-F5

3-113630-F6

3-113630-F7

3-113630-F8

3-113630-F9

3-113630-FA

3-113630-FB

3-113630-FC

3-113630-FD

3-113630-FE

3-113630-F0

3-113630-F1

3-113630-F2

3-113630-F3

3-113630-F4

3-113630-F5

3-113630-F6

3-113630-F7

3-113630-F8

3-113630-F9

3-113630-FA

3-113630-FB

3-113630-FC

3-113630-FD

3-113630-FE

3-113630-F0

3-113630-F1

3-113630-F2

3-113630-F3

3-113630-F4

3-113630-F5

3-113630-F6

3-113630-F7

3-113630-F8

3-113630-F9

3-113630-FA

3-113630-FB

3-113630-FC

3-113630-FD

3-113630-FE

3-113630-F0

3-113630-F1

3-113630-F2

3-113630-F3

3-113630-F4

3-113630-F5

3-113630-F6

3-113630-F7

3-113630-F8

3-113630-F9

3-113630-FA

3-113630-FB

3-113630-FC

3-113630-FD

3-113630-FE

3-113630-F0

3-113630-F1

3-113630-F2

3-113630-F3

TUB enregistrement: 20150701-TF95/TF95L0FA.TXT /PS
application pour la mesure des sorties sur offset, séparationcmyn6* (CMYK)

TUB matériel: code=rha4ta

<http://130.149.60.45/~farbmetrik/TF95/TF95L0FA.TXT>; linearisation 3D
F: linearisation 3D TF95/TF95LF30FA.DAT dans fichier (F), page 8/22

graphique TF95; 2(ISO/IEC 15775 + ISO/IEC TR 24705)
couleurs et différences, ΔE^* , 3D=1, de=1, cmyk*

entrée: $rgb/cm\gamma k \rightarrow rgb/de$
sortie: linearisation 3D selon $cmyk^*$ de

3-113730-F0

3-113730-F1

3-113730-F2

3-113730-F3

3-113730-F4

3-113730-F5

3-113730-F6

3-113730-F7

3-113730-F8

3-113730-F9

3-113730-F10

3-113730-F11

3-113730-F12

3-113730-F13

3-113730-F14

3-113730-F15

3-113730-F16

3-113730-F17

3-113730-F18

3-113730-F19

3-113730-F20

3-113730-F21

3-113730-F22

3-113730-F23

3-113730-F24

3-113730-F25

3-113730-F26

3-113730-F27

3-113730-F28

3-113730-F29

3-113730-F30

3-113730-F31

3-113730-F32

3-113730-F33

3-113730-F34

3-113730-F35

3-113730-F36

3-113730-F37

3-113730-F38

3-113730-F39

3-113730-F40

3-113730-F41

3-113730-F42

3-113730-F43

3-113730-F44

3-113730-F45

3-113730-F46

3-113730-F47

3-113730-F48

3-113730-F49

3-113730-F50

3-113730-F51

3-113730-F52

3-113730-F53

3-113730-F54

3-113730-F55

3-113730-F56

3-113730-F57

3-113730-F58

3-113730-F59

3-113730-F60

3-113730-F61

3-113730-F62

3-113730-F63

3-113730-F64

3-113730-F65

3-113730-F66

3-113730-F67

3-113730-F68

3-113730-F69

3-113730-F70

3-113730-F71

3-113730-F72

3-113730-F73

3-113730-F74

3-113730-F75

3-113730-F76

3-113730-F77

3-113730-F78

3-113730-F79

3-113730-F80

3-113730-F81

3-113730-F82

3-113730-F83

3-113730-F84

3-113730-F85

3-113730-F86

3-113730-F87

3-113730-F88

3-113730-F89

3-113730-F90

3-113730-F91

3-113730-F92

3-113730-F93

3-113730-F94

3-113730-F95

3-113730-F96

3-113730-F97

3-113730-F98

3-113730-F99

3-113730-F100

3-113730-F101

3-113730-F102

3-113730-F103

3-113730-F104

3-113730-F105

3-113730-F106

3-113730-F107

3-113730-F108

3-113730-F109

3-113730-F110

3-113730-F111

3-113730-F112

3-113730-F113

3-113730-F114

3-113730-F115

3-113730-F116

3-113730-F117

3-113730-F118

3-113730-F119

3-113730-F120

3-113730-F121

3-113730-F122

3-113730-F123

3-113730-F124

3-113730-F125

3-113730-F126

3-113730-F127

3-113730-F128

3-113730-F129

3-113730-F130

3-113730-F131

3-113730-F132

3-113730-F133

3-113730-F134

3-113730-F135

3-113730-F136

3-113730-F137

3-113730-F138

3-113730-F139

3-113730-F140

3-113730-F141

3-113730-F142

3-113730-F143

3-113730-F144

3-113730-F145

3-113730-F146

3-113730-F147

3-113730-F148

3-113730-F149

3-113730-F150

3-113730-F151

3-113730-F152

3-113730-F153

3-113730-F154

3-113730-F155

3-113730-F156

3-113730-F157

3-113730-F158

3-113730-F159

3-113730-F160

3-113730-F161

3-113730-F162

3-113730-F163

3-113730-F164

3-113730-F165

3-113730-F166

3-113730-F167

3-113730-F168

3-113730-F169

3-113730-F170

3-113730-F171

3-113730-F172

3-113730-F173

3-113730-F174

3-113730-F175

3-113730-F176

3-113730-F177

3-113730-F178

3-113730-F179

3-113730-F180

3-113730-F181

3-113730-F182

3-113730-F183

3-113730-F184

3-113730-F185

3-113730-F186

3-113730-F187

3-113730-F188

3-113730-F189

3-113730-F190

3-113730-F191

3-113730-F192

3-113730-F193

3-113730-F194

3-113730-F195

3-113730-F196

3-113730-F197

3-113730-F198

3-113730-F199

3-113730-F200

3-113730-F201

3-113730-F202

3-113730-F203

3-113730-F204

3-113730-F205

3-113730-F206

3-113730-F207

3-113730-F208

3-113730-F209

3-113730-F210

3-113730-F211

3-113730-F212

3-113730-F213

3-113730-F214

3-113730-F215

3-113730-F216

3-113730-F217

3-113730-F218

3-113730-F219

3-113730-F220

3-113730-F221

3-113730-F222

3-113730-F223

3-113730-F224

3-113730-F225

3-113730-F226

3-113730-F227

3-113730-F228

3-113730-F229

3-113730-F230

3-113730-F231

3-113730-F232

3-113730-F233

3-113730-F234

3-113730-F235

3-113730-F236

TUB enregistrement: 20150701-TF95/TF95L0FA.TXT /PS
application pour la mesure des sorties sur offset, séparationcmyn6* (CMYK)

TUB matériel: code=rha4ta

<http://130.149.60.45/~farbmetrik/TF95/TF95L0FA.TXT>; linearisation 3D
F: linearisation 3D TF95/TF95LF30FA.DAT dans fichier (F), page 9/22

graphique TF95; 2(ISO/IEC 15775 + ISO/IEC TR 24705)
couleurs et différences, ΔE^* , 3D=1, de=1, cmyk*

entrée: $rgb/cm\gamma k \rightarrow rgbd$
sortie: linearisation 3D selon $cmyk^*$

3-113830-F0

voir des fichiers similaires: <http://130.149.60.45/~farbmetrik/TF95/TF95.HTM>
informations techniques: <http://www.ps.bam.de> ou <http://130.149.60.45/~farbmetrik>

TUB enregistrement: 20150701-TF95/TF95L0FA.TXT /PS
application pour la mesure des sorties sur offset, séparationcmyn6* (CMYK)

TUB matériel: code=rha4ta

<http://130.149.60.45/~farbmetrik/TF95/TF95L0FA.TXT>; linearisation 3D
F: linearisation 3D TF95/TF95LF30FA.DAT dans fichier (F), page 10/22

graphique TF95; 2(ISO/IEC 15775 + ISO/IEC TR 24705)
couleurs et différences, ΔE^* , 3D=1, de=1, cmyk*

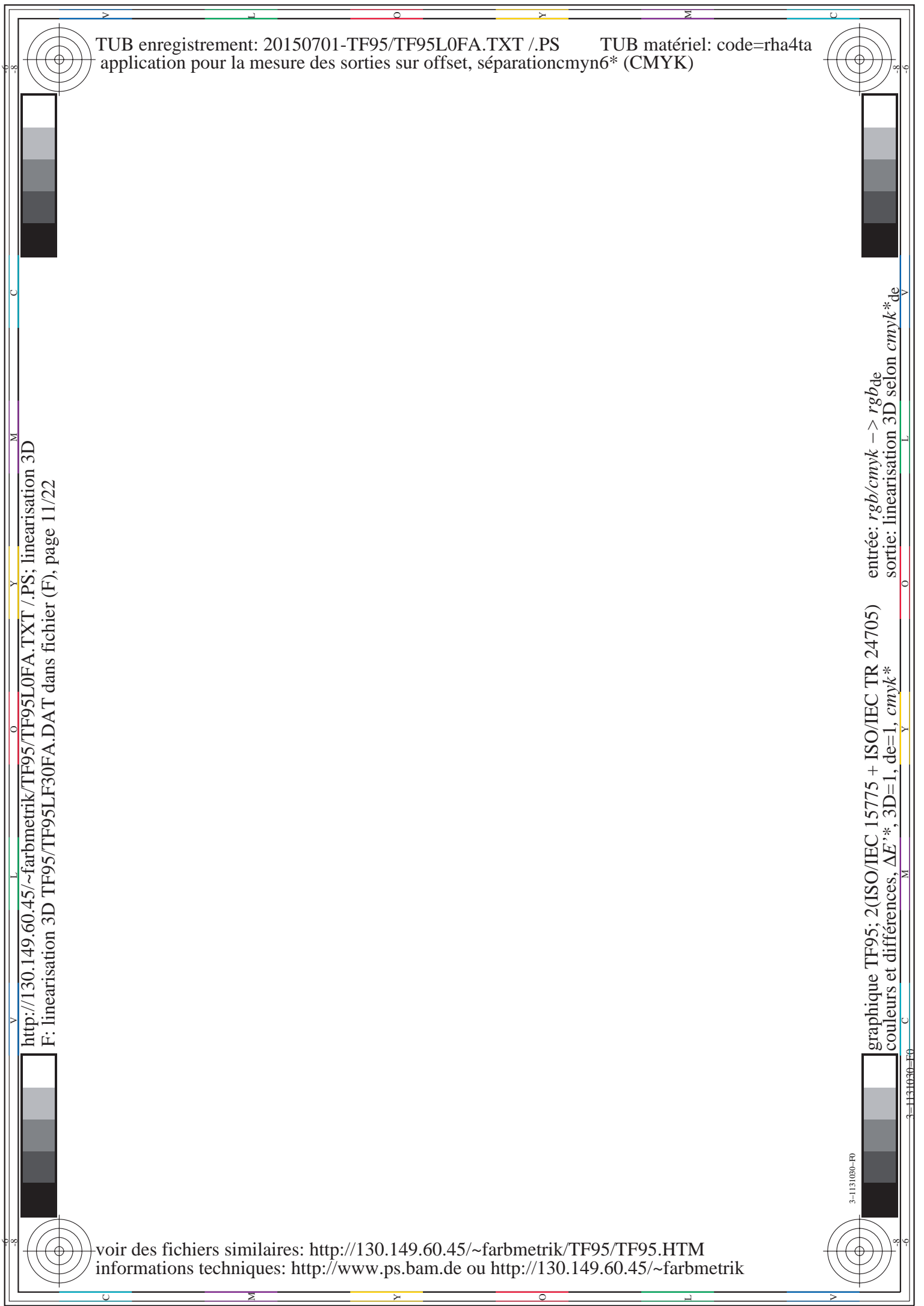
entrée: $rgb/cm\gamma k \rightarrow rgb/de$
sortie: linearisation 3D selon $cmyk^*$ de

3-113930-F0

voir des fichiers similaires: <http://130.149.60.45/~farbmetrik/TF95/TF95.HTM>
informations techniques: <http://www.ps.bam.de> ou <http://130.149.60.45/~farbmetrik>

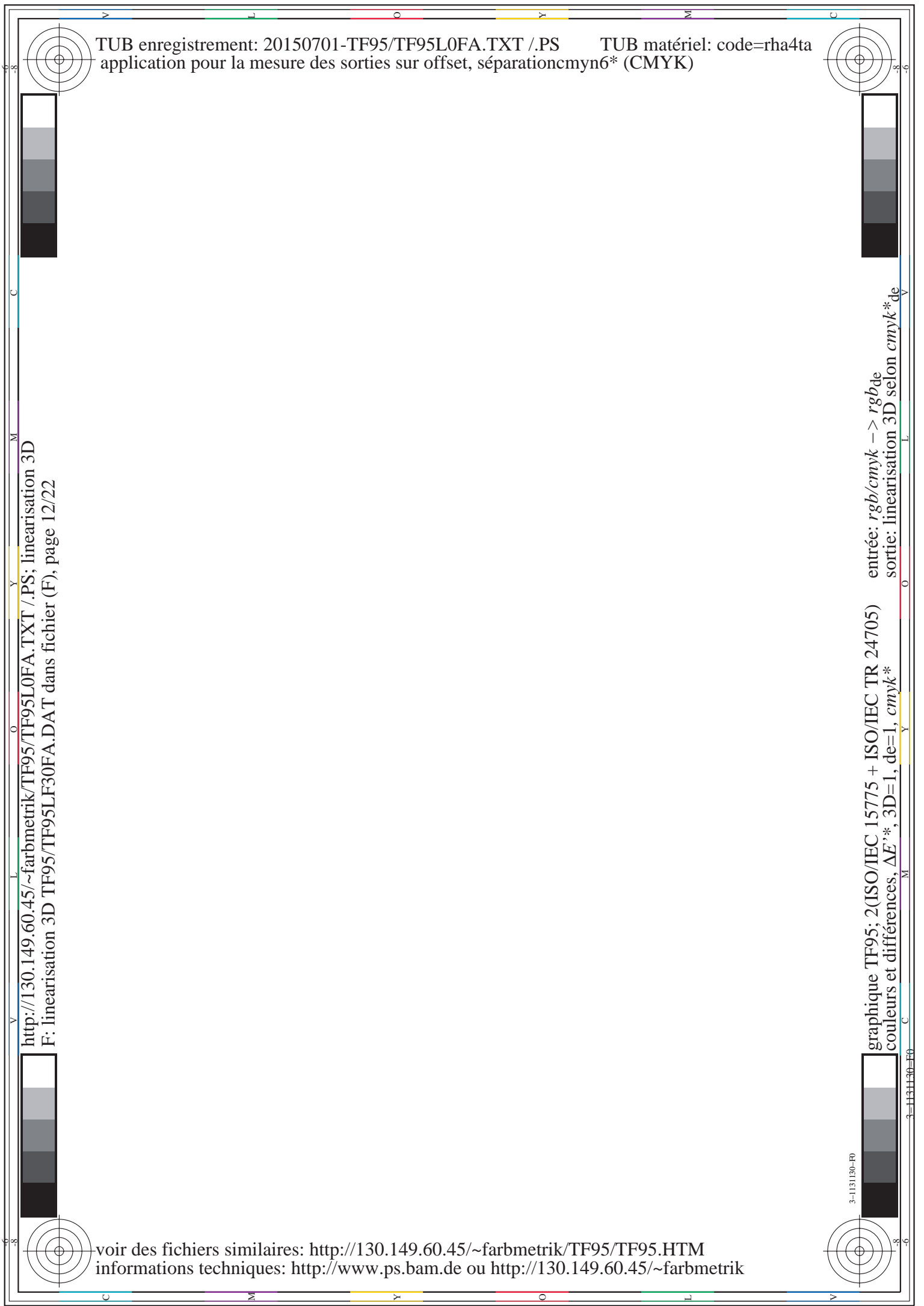
TUB enregistrement: 20150701-TF95/TF95L0FA.TXT /PS
application pour la mesure des sorties sur offset, séparationcmyn6* (CMYK)

TUB matériel: code=rha4ta



TUB enregistrement: 20150701-TF95/TF95L0FA.TXT /PS
application pour la mesure des sorties sur offset, séparationcmyn6* (CMYK)

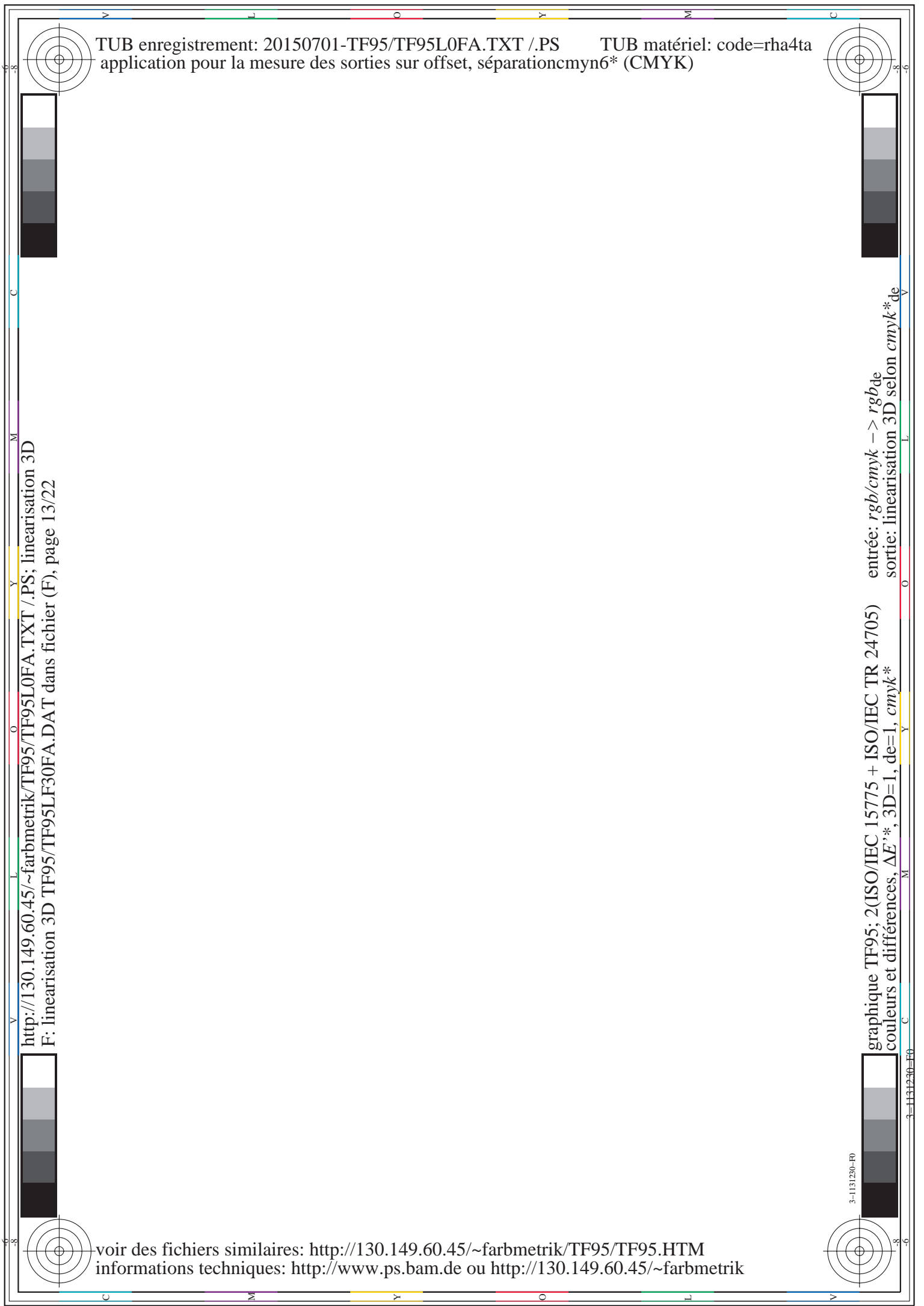
TUB matériel: code=rha4ta



voir des fichiers similaires: <http://130.149.60.45/~farbmetrik/TF95/TF95.HTM>
informations techniques: <http://www.ps.bam.de> ou <http://130.149.60.45/~farbmetrik>

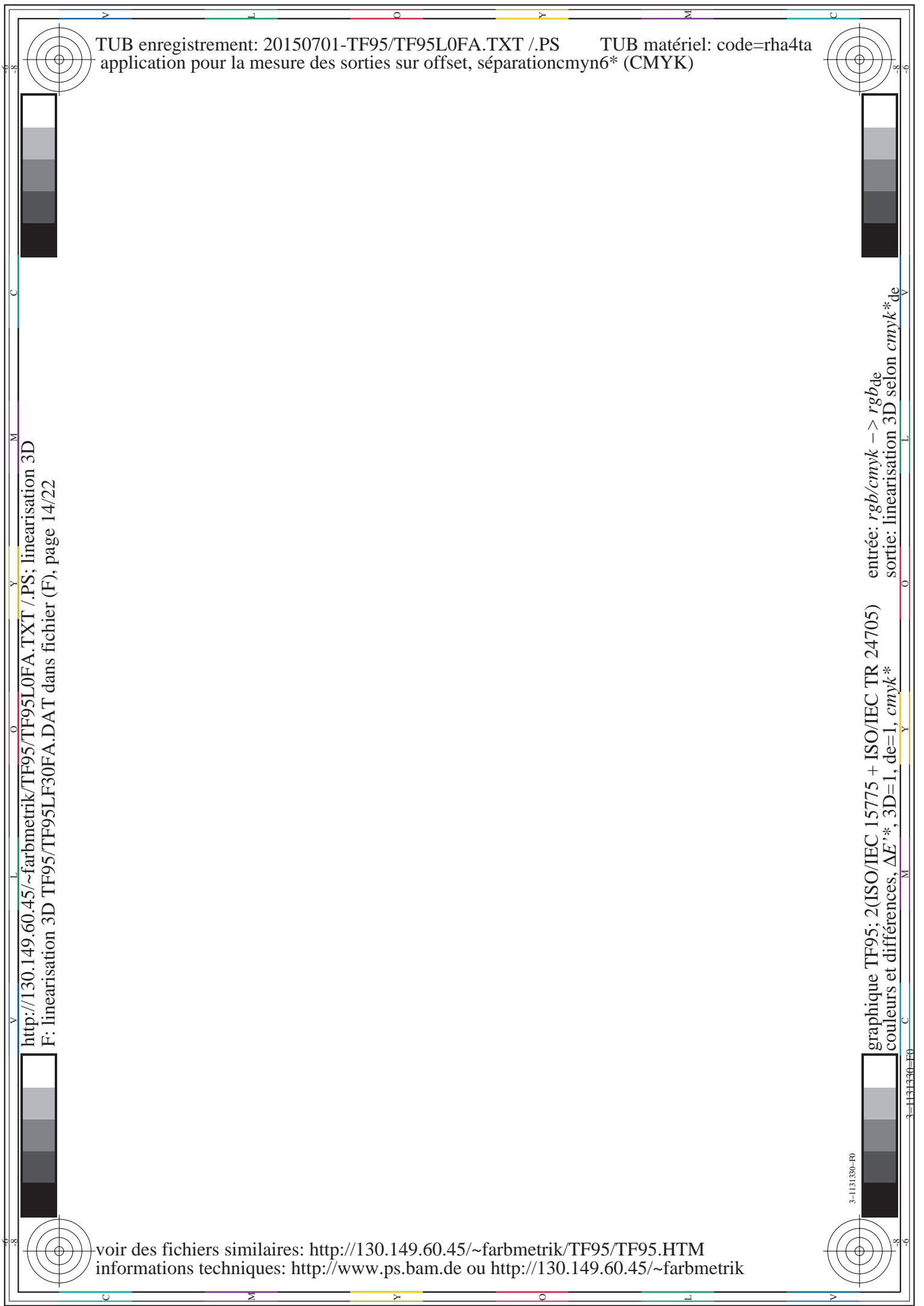
TUB enregistrement: 20150701-TF95/TF95L0FA.TXT /PS
application pour la mesure des sorties sur offset, séparationcmyn6* (CMYK)

TUB matériel: code=rha4ta



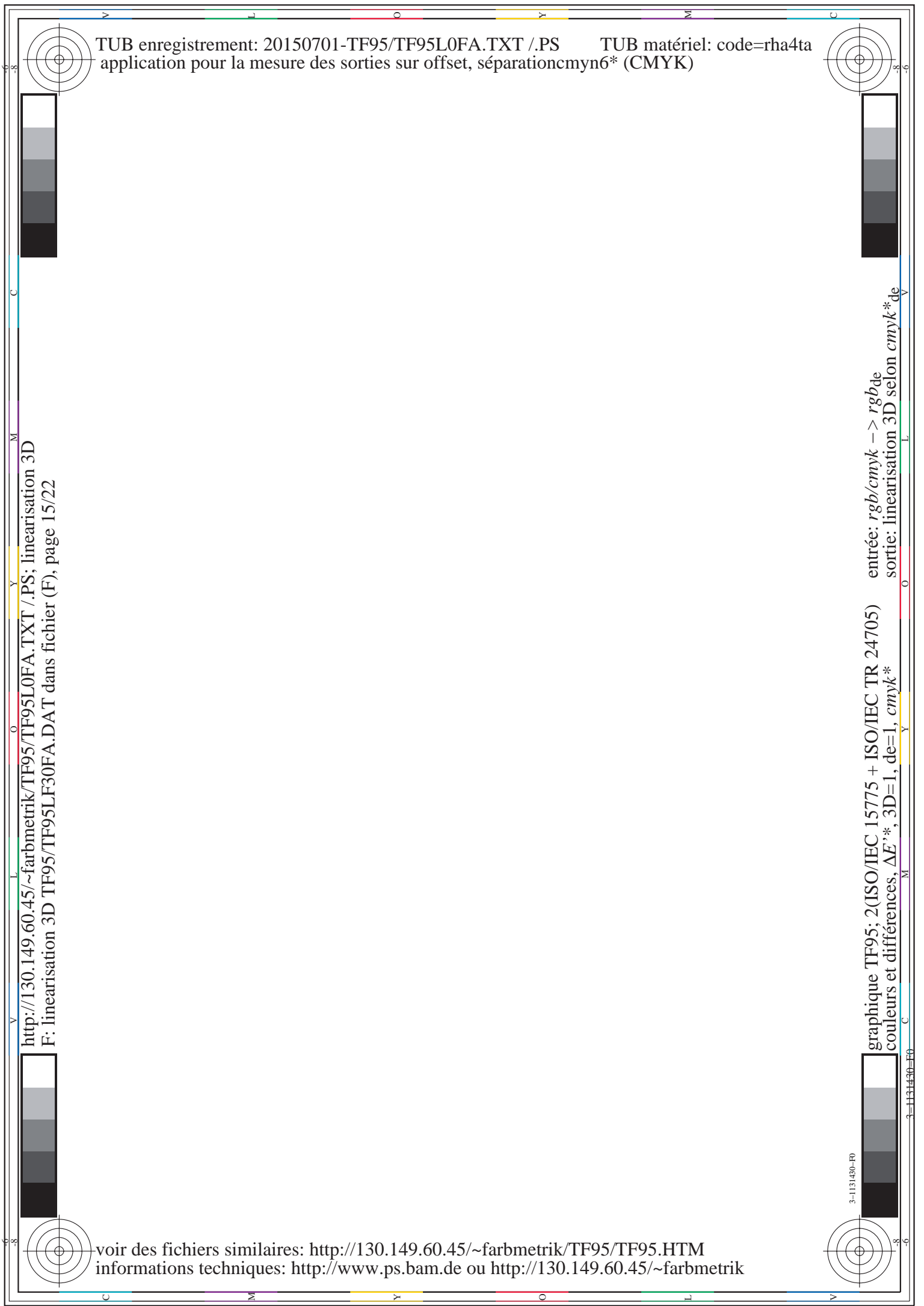
TUB enregistrement: 20150701-TF95/TF95L0FA.TXT /PS
application pour la mesure des sorties sur offset, séparationcmyn6* (CMYK)

TUB matériel: code=rha4ta



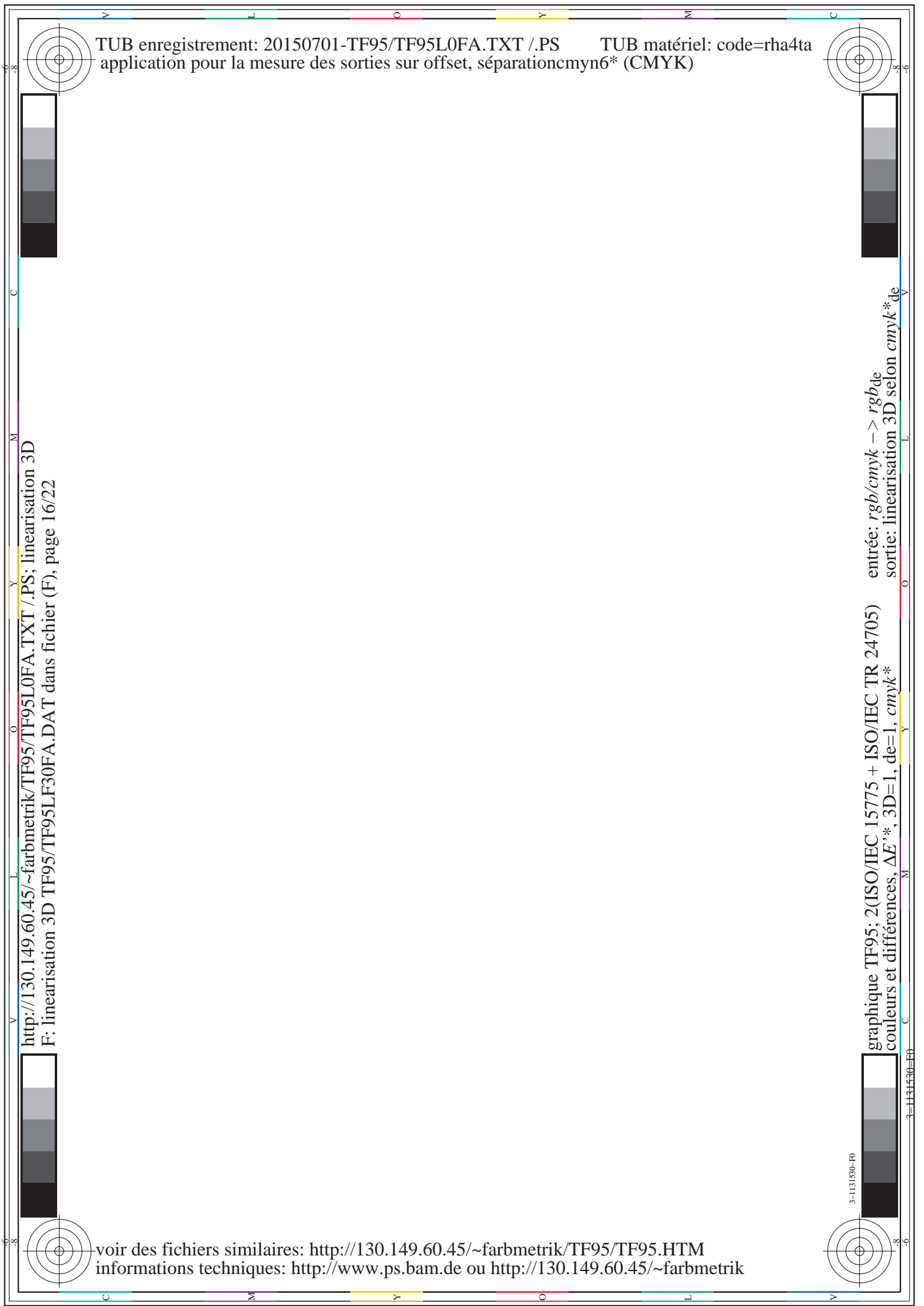
TUB enregistrement: 20150701-TF95/TF95L0FA.TXT /PS
application pour la mesure des sorties sur offset, séparationcmyn6* (CMYK)

TUB matériel: code=rha4ta



TUB enregistrement: 20150701-TF95/TF95L0FA.TXT /PS
application pour la mesure des sorties sur offset, séparationcmyn6* (CMYK)

TUB matériel: code=rha4ta



<http://130.149.60.45/~farbmetrik/TF95/TF95L0FA.TXT>; linearisation 3D
F: linearisation 3D TF95/TF95LF30FA.DAT dans fichier (F), page 16/22

voir des fichiers similaires: <http://130.149.60.45/~farbmetrik/TF95/TF95.HTM>
informations techniques: <http://www.ps.bam.de> ou <http://130.149.60.45/~farbmetrik>

graphique TF95; 2(ISO/IEC 15775 + ISO/IEC TR 24705)
couleurs et différences, ΔE^* , 3D=1, de=1, cmyk*

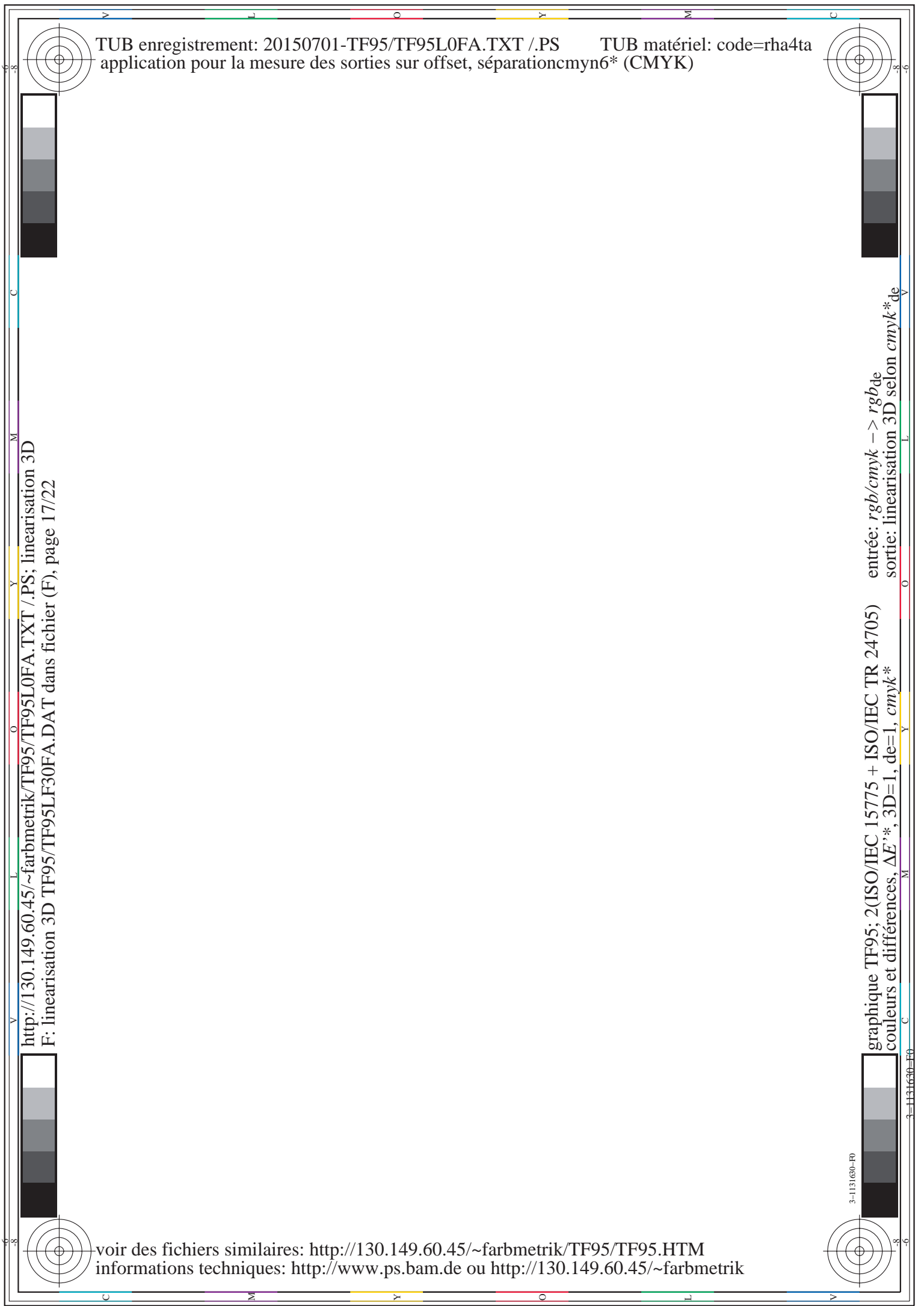
entrée: $rgb/cm\gamma k \rightarrow rgbd$
sortie: linearisation 3D selon $cmyk^*$

3-1131530-R

3-1131530-F0

TUB enregistrement: 20150701-TF95/TF95L0FA.TXT /PS
application pour la mesure des sorties sur offset, séparationcmyn6* (CMYK)

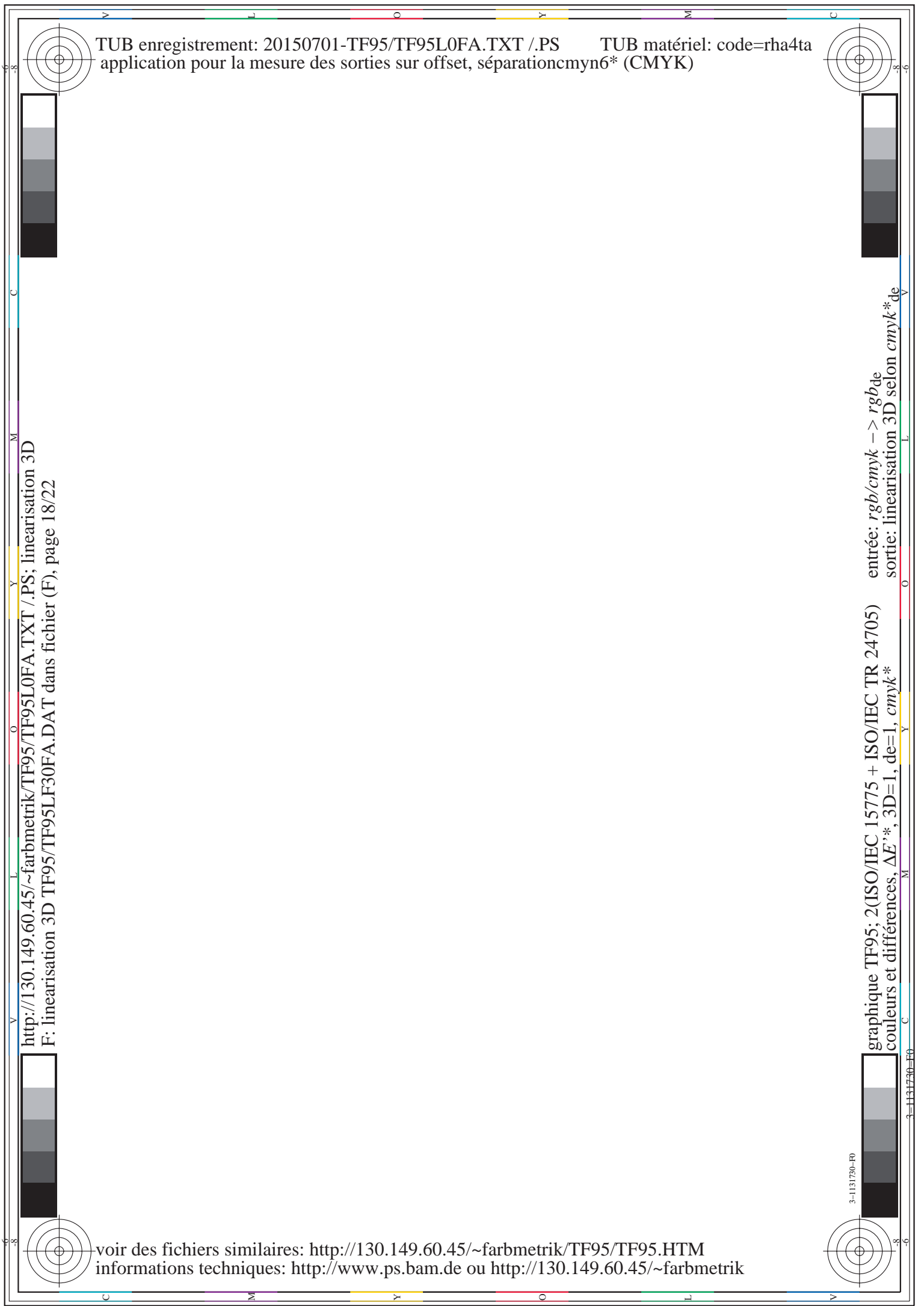
TUB matériel: code=rha4ta



voir des fichiers similaires: <http://130.149.60.45/~farbmetrik/TF95/TF95.HTM>
informations techniques: <http://www.ps.bam.de> ou <http://130.149.60.45/~farbmetrik>

TUB enregistrement: 20150701-TF95/TF95L0FA.TXT /PS
application pour la mesure des sorties sur offset, séparationcmyn6* (CMYK)

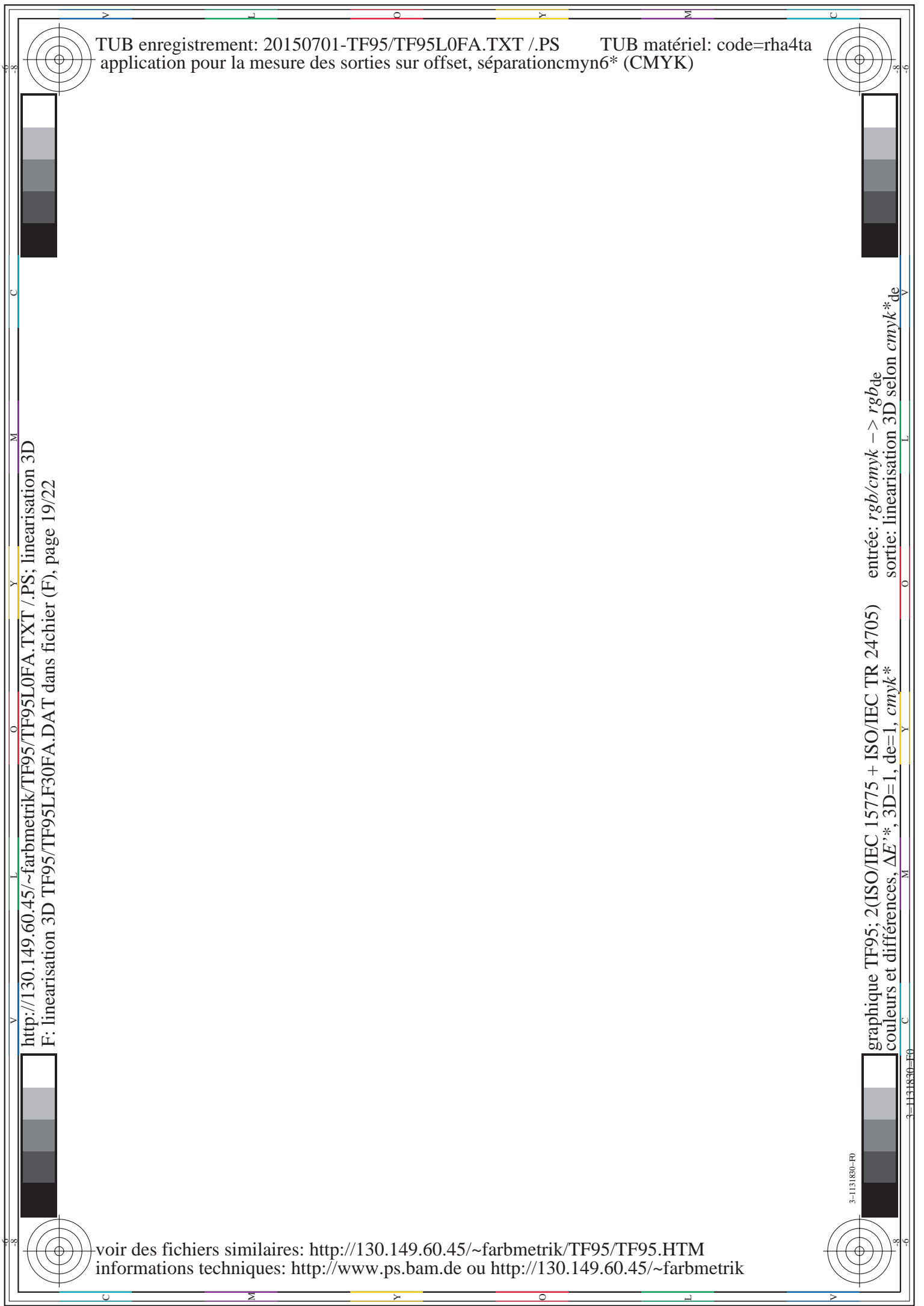
TUB matériel: code=rha4ta



voir des fichiers similaires: <http://130.149.60.45/~farbmefrik/TF95/TF95.HTM>
informations techniques: <http://www.ps.bam.de> ou <http://130.149.60.45/~farbmefrik>

TUB enregistrement: 20150701-TF95/TF95L0FA.TXT /PS
application pour la mesure des sorties sur offset, séparationcmyn6* (CMYK)

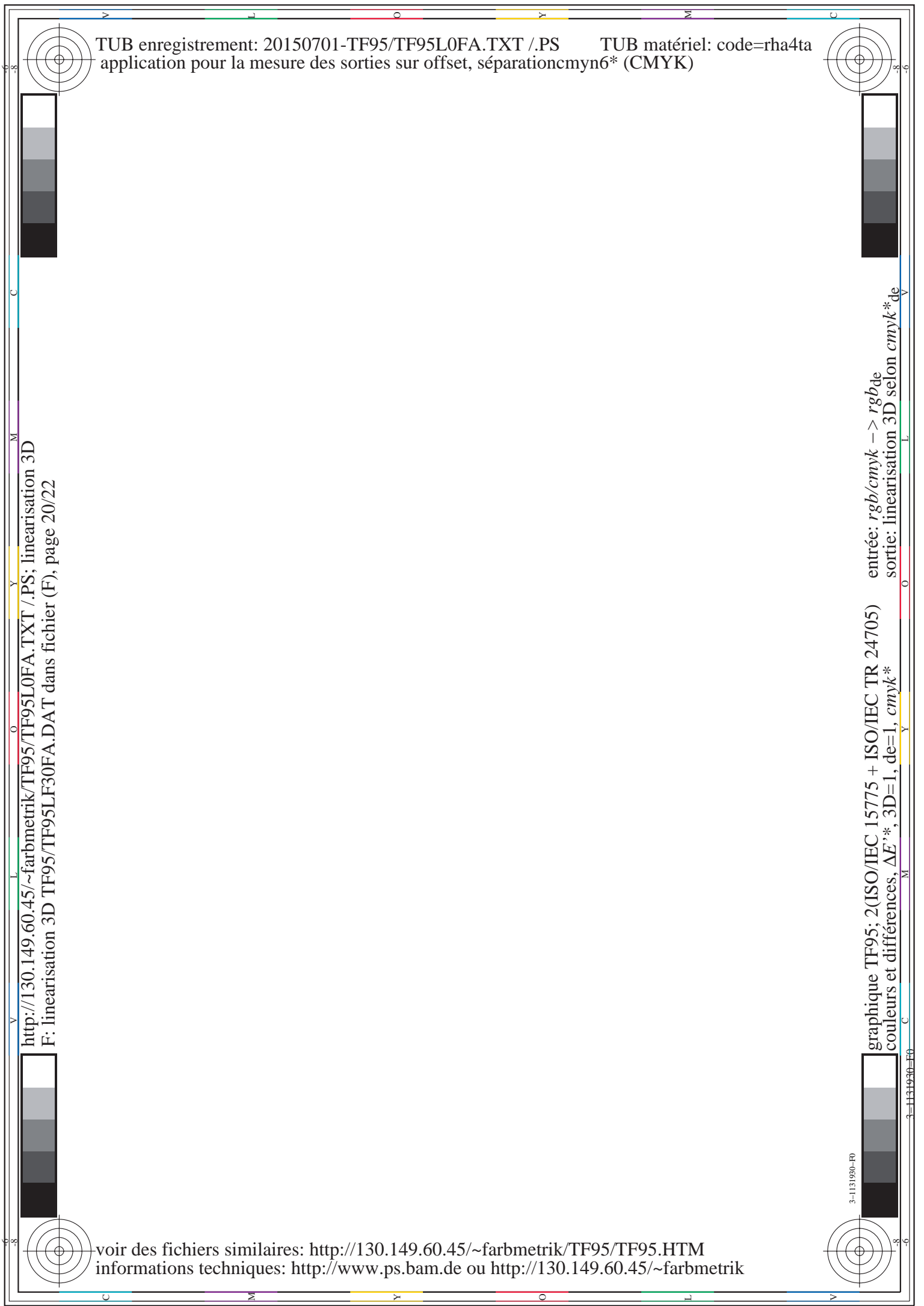
TUB matériel: code=rha4ta



voir des fichiers similaires: <http://130.149.60.45/~farbmetrik/TF95/TF95.HTM>
informations techniques: <http://www.ps.bam.de> ou <http://130.149.60.45/~farbmetrik>

TUB enregistrement: 20150701-TF95/TF95L0FA.TXT /PS
application pour la mesure des sorties sur offset, séparationcmyn6* (CMYK)

TUB matériel: code=rha4ta



<http://130.149.60.45/~farbmetrik/TF95/TF95L0FA.TXT>; linearisation 3D
F: linearisation 3D TF95/TF95LF30FA.DAT dans fichier (F), page 20/22

voir des fichiers similaires: <http://130.149.60.45/~farbmetrik/TF95/TF95.HTM>
informations techniques: <http://www.ps.bam.de> ou <http://130.149.60.45/~farbmetrik>

graphique TF95; 2(ISO/IEC 15775 + ISO/IEC TR 24705)
couleurs et différences, ΔE^* , 3D=1, de=1, cmyk*

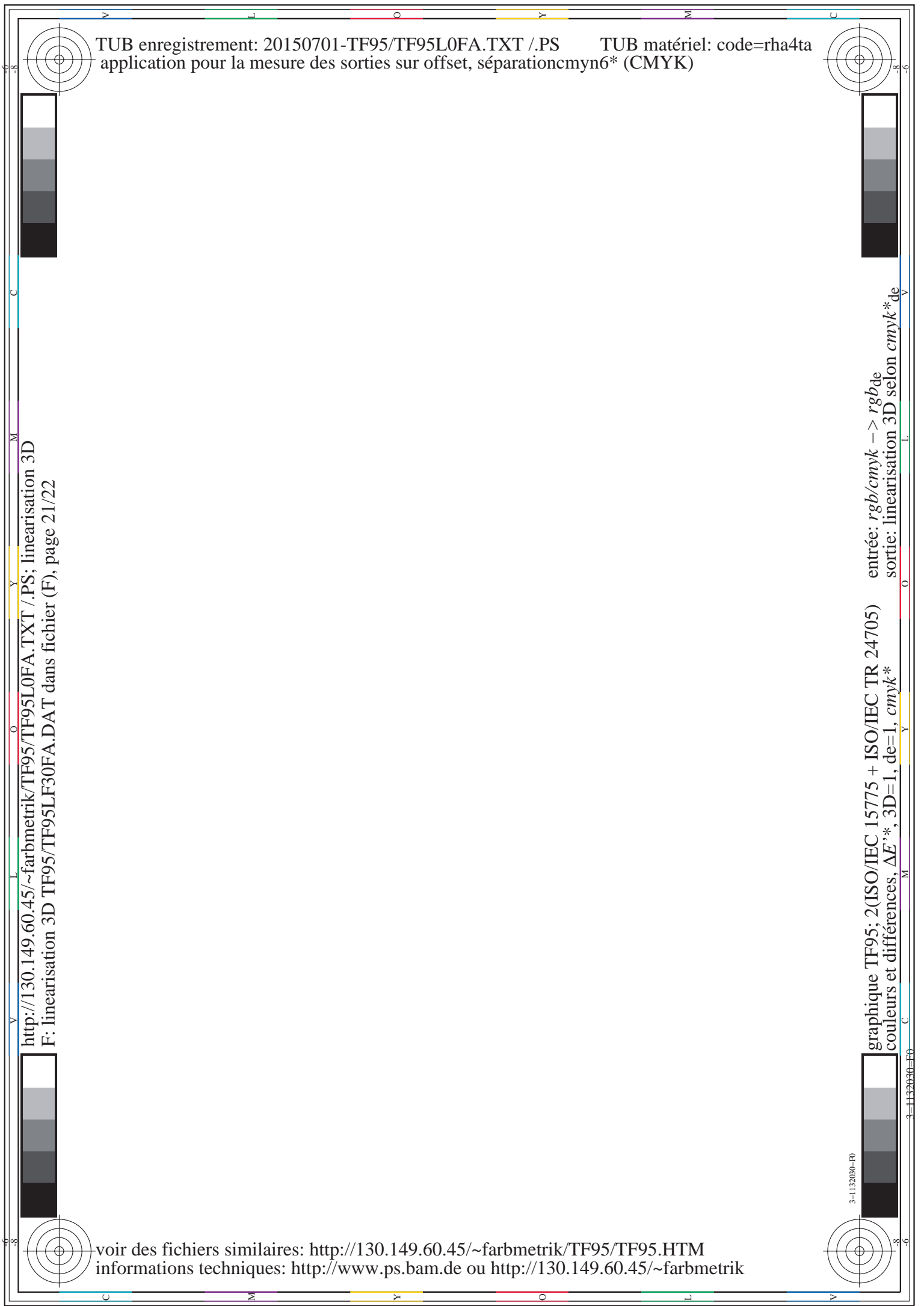
entrée: $rgb/cm\gamma k \rightarrow rgb/de$
sortie: linearisation 3D selon $cmyk^*$ de

3-1131930-R0

3-1131930-F0

TUB enregistrement: 20150701-TF95/TF95L0FA.TXT /PS
application pour la mesure des sorties sur offset, séparationcmyn6* (CMYK)

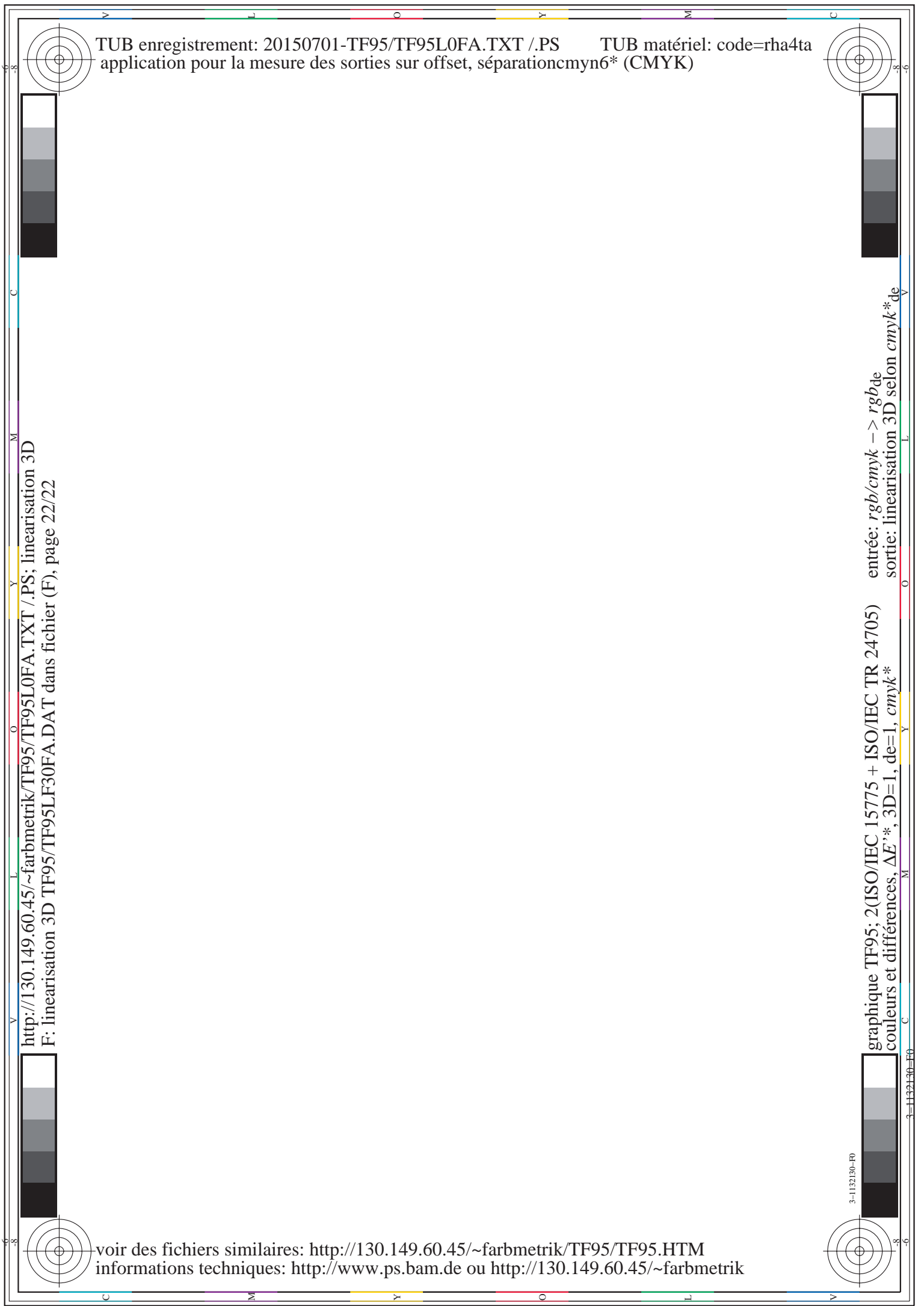
TUB matériel: code=rha4ta



voir des fichiers similaires: <http://130.149.60.45/~farbmetrik/TF95/TF95.HTM>
informations techniques: <http://www.ps.bam.de> ou <http://130.149.60.45/~farbmetrik>

TUB enregistrement: 20150701-TF95/TF95L0FA.TXT /PS
application pour la mesure des sorties sur offset, séparationcmyn6* (CMYK)

TUB matériel: code=rha4ta



voir des fichiers similaires: <http://130.149.60.45/~farbmetrik/TF95/TF95.HTM>
informations techniques: <http://www.ps.bam.de> ou <http://130.149.60.45/~farbmetrik>